

Міністерство освіти і науки України
Національний технічний університет
"Дніпровська політехніка"

Інститут природокористування
(інститут, факультет)

Кафедра гірничої інженерії та освіти
(повна назва)

ПОЯСНЮВАЛЬНА ЗАПИСКА
кваліфікаційної роботи ступеню
магістра

(бакалавр, магістр)

студента Ткаченко Олександра Олесандровича :
(ПІБ)
академічної групи 184м-21з-ІП :
(шифр)
спеціальності 184 Гірництво
(код і назва спеціальності)
за освітньо-професійною програмою Інжиніринг гірництва
(офіційна назва)

на тему: : Обґрунтування параметрів кріплення виробок на основі напружено-деформованого стану (НДС) системи «шаруватий масив-кріплення виїмкових виробок» в умовах шахти ім. Героїв Космосу ПрАТ «ДТЕК Павлоградвугілля».

(назва за наказом ректора)

Керівники	Прізвище, ініціали	Оцінка за шкалою		Підпис
		рейтинговою	інституційною	
кваліфікаційної роботи	Проф. Почепов В.М.			
розділів:				
Розділ 1	Проф. Почепов В.М.			
Розділ 2	Проф. Почепов В.М.			
Розділ 3	Проф. Почепов В.М.			
Охорона праці	Проф. Яворська О.О.			
Рецензент				
Нормоконтролер	Проф. Почепов В.М.			

Дніпро
2022

ЗАТВЕРДЖЕНО:
 завідувач кафедри
гірничої інженерії та освіти
 (повна назва)
проф. Бондаренко В.І.
 (прізвище, ініціали)

(підпис)

(прізвище, ініціали)

«_____» 2022 року

ЗАВДАННЯ
на кваліфікаційну роботу ступеня
магістра
 (бакалавра, магістра)

студенту Ткаченку О.О. акаадемічної групи 184м-21з-ІП.
 (прізвище та ініціали) (шифр)
 спеціальністі 184 Гірництво
 (код і назва спеціальності)
 за освітньо-професійною програмою Інжиніринг гірництва
 (офіційна назва)
 на тему: Обґрунтування параметрів кріplення виробок на основі напружене-деформованого стану (НДС) системи «шаруватий масив-кріплення виїмкових виробок» в умовах шахти ім. Героїв Космосу ПрАТ «ДТЕК Павлоградвугілля».

затверджену наказом ректора НТУ «Дніпровська політехніка» від _____ №_

Розділ	Зміст	Термін виконання
Вступ Розділ 1	Вступ. Характеристика гірничого підприємства	12.10.2022 р.
Розділ 2	Сучасні методи прогнозу зміщення шаруватого масиву в системі «шаруватий масив-кріплення виїмкових виробок».	28.10.2022 р.
Розділ 3	Дослідження моделі деформування системи «шаруватий масив – кріплення виїмкової виробки».	26.11.2022 р.
Охорона праці. Висковки	Заходи з охорони праці та підтримання нормальних умов праці. Висновки.	18.12.2022 р.

Завдання видано _____
 (підпис керівника) **Почепов В.М.**
 (прізвище, ініціали)
 Дата видачі: 05.09.2022 р.

Дата подання до екзаменаційної комісії: 20.12.2022 р.

Прийнято до виконання _____
 (підпис студента)

Ткаченко О.О.
 (прізвище, ініціали)

РЕФЕРАТ

Пояснювальна записка: 59 сторінок, 13 рисунків, 4 таблиці, 12 джерел використаної літератури.

Об'єкт розробки: кріплення виїмкових штреків.

Мета кваліфікаційної роботи – поліпшення експлуатаційних характеристик виїмкових виробок при обліку параметрів граничного стану порід шаруватого гірського масиву в умовах шахти ім. Героїв Космосу.

У вступі проведено обґрунтування, визначено мету, завдання і методи досліджень.

В першому розділі надані загальні відомості про підприємство для умов якого проводилася дослідницька робота.

В другому розділі виконано аналіз стану проблеми, визначено шляхи її науково-практичного рішення та сучасні методи прогнозу руйнування шаруватого масиву.

В третьому розділі розглянуті особливості впливу різних структурних характеристик вуглевмісного гірського масиву на параметри вибору конфігурації кріплення виїмкової виробки. Приведена процедура визначення раціональних параметрів виїмкової виробки.

У підрозділі «Охорона праці» визначено засоби забезпечення безаварійності праці шахтарів та представлені заходи щодо комплексного знепилення.

**ТЕХНОЛОГІЯ КРИПЛЕННЯ, ПЛАСТ, ШАРУВАТИЙ ПОРОДНИЙ
МАСИВ, ГРАНИЧНИЙ СТАН ПОРІД, ПОКРІВЛЯ ВИРОБКИ, ПІДОШВА
ВИРОБКИ, ОХОРОНА ПРАЦІ, КРИПЛЕННЯ ВИРОБКИ, ЗНЕПИЛЕННЯ**

ЗМІСТ

ВСТУП.....	5
1. ЗАГАЛЬНА ХАРАКТЕРИСТИКА ГІРНИЧОГО ПІДПРИЄМСТВА..	8
1.1 Місцезнаходження підприємства.....	8
1.2 Гірничо-геологічна характеристика шахти.....	8
2. СУЧАСНІ МЕТОДИ ПРОГНОЗУ ЗМІЩЕННЯ ШАРУВАТОГО МАССИВУ В СИСТЕМІ «ШАРУВАТИЙ МАСИВ-КРІПЛЕННЯ ВИЇМКОВОЇ ВИРОБКИ».....	18
2.1. Стан проблеми кріплення виїмкових виробок в слабких породах.....	18
2.2. Розвиток геомеханічних моделей дослідження стану системи «породний масив – кріплення виробки».....	19
2.3. Технологія обчислювального експерименту для вирішення завдань геомеханіки	22
3. ДОСЛІДЖЕННЯ МОДЕЛІ ДЕФОРМУВАННЯ СИСТЕМИ «ШАРУВАТИЙ МАСИВ – КРІПЛЕННЯ ВИЇМКОВОЇ ВИРОБКИ»...	24
3.1. Дослідження розрахункової моделі обчислювального експерименту...	24
3.2. Вплив геомеханічних параметрів вуглевмісного масиву на зміщення покрівлі та підошви виробки.....	42
4. Охорона праці.....	52
4.1 Аналіз потенційно небезпечних і шкідливих виробничих факторів при проведенні гірничих виробок.....	52
4.2 Знепилення при проведенні гірничих виробок.....	53
4.3 Пиловибухозахист при проведенні виробки.....	55
ВИСНОВКИ	57
ПЕРЕЛІК ПОСИЛАНЬ.....	58

ВСТУП

Актуальність роботи. На теперішній час вугільна промисловість в Україні є однією з найбільш важливих галузей. Вугілля, яке нею видобувається застосовується на багатьох промислових підприємствах країни, велика частина яких відноситься до енергетики і металургії. На Україні кам'яне вугілля є єдиним енергетичною сировиною, запаси якого досить великі. У зв'язку з тим, що щорічно зростає потреба в електроенергії, зростає потреба і у вугіллі. Однак, в даний час, вугільна промисловість, також як і всі інші галузі, знаходиться в критичному стані. Основними причинами, що стримують розвиток галузі, є затримки платежів з розрахунку за відвантажене вугілля і відсутність фінансування з боку держави, що призводить до неможливості придбання нової і ремонту старої техніки, і як наслідок призводить до зменшення продуктивності шахт.

Складне економічне становище держави, коли зруйновано багато господарських зв'язків, шахти відчувають гостру нестачу сучасної вугледобувної техніки, транспортних засобів, потрібних запчастин і приладів, кріпильних, паливно-мастильних та інших матеріалів. Важке фінансове становище, через неплатежі споживачів, не дає можливості шахтам успішно вирішувати питання задовільного обслуговування всієї мережі виробок, завдання мінімізації витрат для забезпечення основних технологічних ланцюжків стають критично важливими. Серед таких завдань великою групою виділяються питання забезпечення експлуатаційних характеристик очисних і виймкових виробок, забезпечення достатнього рівня безпеки проведення гірничих робіт. Розробка різних конфігурацій кріplення виробок і охоронних конструкцій вимагає визначення оптимальних несучих показників, значення яких прямо пов'язані з рівнем гірського тиску яке генерує породний масив в ході проведення гірничих робіт.

Тому розробка моделі технологічного розрахунку епюри переміщень контуру виробки, розташованої в шароватому масиві слабких порід, для комплексної оцінки ділянок зміни механічних характеристик породних шарів і

елементів рами в позамежному стані матеріалів досліджуваних об'єктів є, безумовно, актуальним завданням підвищення стійкості виїмкових виробок.

Об'єкт дослідження – геомеханічні процеси в системі, що включає шаруватий масив слабких порід в околиці виїмкових виробок і конструктивних елементів кріплення.

Предмет дослідження – взаємодія елементів системи «шаруватий масив - кріплення виїмкової виробки» при зміні внутрішніх механічних характеристик порід.

Ідея роботи полягає в застосуванні рішень контактних задач при прогнозуванні зсуvin елементів кріплення виїмкової виробки.

Мета кваліфікаційної роботи – поліпшення експлуатаційних характеристик виїмкових виробок при обліку параметрів граничного стану порід шаруватого гірського масиву в умовах шахти ім. Героїв Космосу.

Реалізація поставленої мети досягається шляхом послідовного вирішення наступних основних завдань:

- обґрунтувати просторову модель зрушения шаруватого масиву слабких порід в околиці виїмкової виробки для умов залягання вугільних пластів Західного Донбасу;
- провести комплексне дослідження напружено-деформованого стану (НДС) системи «шаруватий масив-кріплення виїмкових виробок» по повній діаграмі деформування кожного зі складових її елементів і оцінити достовірність отриманих результатів.

Методи дослідження - поставлена мета досягнута на основі комплексного підходу, що включає: аналіз і узагальнення сучасних експериментальних, аналітичних і чисельних методів досліджень процесів взаємодії кріплення підземних виробок з вуглевмісним породним масивом; комп'ютерне моделювання взаємодії елементів системи «шаруватий масив-кріплення виїмкових виробок» в дogrаничному, граничному та позамежному їх станах із застосуванням методу кінцевих елементів при дослідженні НДС системи; метод кореляційно-дисперсійного аналізу результатів математичного

експерименту в рішеннях прикладних задач; тестування результатів математичних експериментів за даними натурних досліджень.

Практичне значення роботи полягає в обґрунтуванні геомеханічної моделі зміщення шаруватого вуглевмісного масиву слабких порід в околиці виїмкових виробок, яка реалізована за допомогою пакета сучасних комп'ютерних програм і їх додатків; розробці параметрів прийняття технологічних рішень при виборі конфігурації кріплення виїмкових штреків в умовах шахти ім. Героїв Космосу ПрАТ «ДТЕК Павлоградвугілля».

Реалізація результатів роботи. Основні положення роботи можуть бути використані при створенні методики розрахунку прогнозування переміщень контуру виїмкових виробок і розробці проектної документації проведення і кріплення виробок на шахтах ПрАТ «ДТЕК Павлоградвугілля».

1. ХАРАКТЕРИСТИКА ГІРНИЧОГО ПІДПРИЄМСТВА

1.1 Місцезнаходження підприємства

Шахта ім. Героїв Космосу розташована в Павлоградско-Петропавлівському вуглевиробничому районі Західного Донбасу. В адміністративному відношенні виробничо-структурний підрозділ шахти ім. Героїв космосу входить до складу ПрАТ "ДТЭК Павлоградвугілля" і розташована на території Павлоградського району Дніпропетровської області України.

Найближчими промисловими підприємствами є шахти «Благодатна», «Павлоградська» і ЦОФ «Павлоградська».

Джерелом електричної енергії шахти є районна підстанція «Павлоградська-330» системи «Дніпроенерго», розташована приблизно в 6 км від шахти.

1.2 Гірничо-геологічна характеристика шахти

1.2.1 Геологічна характеристика шахтного поля

У геологічній будові шахтного поля беруть участь продуктивні відкладення нижнього карбону і їхні осадові утворення, що перекривають, тріас-юрського, палеогенового, неогенового й четвертинного віків.

У межах шахтного поля шахти ім. Героїв Космосу промислове значення мають сім пластів c_{11} , c_{10}^B , c_9 , c_8^H , c_7^H , c_5 і c_1 .

Вугільні пласти промислового значення приурочені до відкладень Самарської світи (C_1^3) нижнього відділу карбону, які представлені аргилітами, алевролітами, піщаниками й вугільними пластами. Залігання порід пологе із зануренням переважно в північно-східному напрямку під кутом 2-5°.

Всі пластина шахті є відносно витриманими по потужності, простої будови.

У цей час шахта відпрацьовує шари c_{11} , c_{10}^B і c_9 .

Поле шахти ім. Героїв Космосу по інтенсивності тектонічної порушеності і умовам залягання порід ділиться на дві частини: північно-західну, що характеризується моноклинальним заляганням порід і значною порушеністю, і південно-східну, на якій тектонічних порушень, крім граничних скидань, практично не виявлено, але породи карбону (особливо в нижній частині) мають порожньо-хвилясте залягання.

Найбільш великими порушеннями є Богданівський, Вербський, Благодатненський, Діагональний, Поперечний і Морозівський скидання.

У зв'язку з наявністю великих тектонічних порушень, значно розвинена мережа дрібних тектонічних зон, що негативно позначається на стійкості порід при веденні очисних і підготовчих робіт.

Шахтне поле розташоване в опущеному крилі Богданівського скидання, не має виходів пластів на поверхню карбону, і продуктивна свита відділена від обводнених покривних відкладень потужною безвугільною товщею

водотримких порід нижнього карбону. Крім того, через кольматації тріщини в зонах тектонічних порушень заповнені глинистим матеріалом, скидання є природним екраном на шляху руху підземних вод і практично виключають взаємозв'язок між водоносними горизонтами карбону і покривних відкладень.

Однак на деяких ділянках шахтного поля зустрічаються піщаники потужністю 0,35-6,7м, що безпосередньо контактиують із вугільним шаром.

За рахунок статичних запасів вод цих піщанників формуються водопритоки в гірські виробки, які надходять по тріщинах вуглевмішуючих порід і тріщинам обвалення.

Підземні води шахти ім. Героїв Космосу високомінералізовані, дуже жорсткі і відносяться до хлоридно-натрієвих.

Середньорічний приплів по шахті склав 38,7 м³/ч. Прогнозний приплів води в найближчі 20-25 років, відповідно до прийнятого порядку відпрацьування, складе: нормальній – 90 м³/год, максимальний – 100 м³/ч.

Породи, що вміщають, вугільні пласти є в основному аргіліти й алевроліти з коефіцієнтом міцності на стиск 16,0-33,5 Мпа. Піщаники зустрічаються рідше, коефіцієнт міцності їх змінюється від 21,3 до 65 Мпа.

Породи покрівлі і підошви - нестійкі і середньої стійкості. Основним видом руйнування виробок на шахті є здимання порід підошви висота якого коливається від 0,2 до 1,5м. Процес здимання підошви відмічається як на обводнених, так і на сухих ділянках виробок. Експлуатаційні ускладнення в капітальних і підготовчих виробках проявляються також у формі інтенсивного деформування й руйнування кріпління, вивалів породи з покрівлі.

Пил є силикозонебезпечний і вибухонебезпечний. Вугілля не схильні до самозаймання, не небезпечні по раптовим викидам вугілля й газу, досить мідне і грузле, з опірністю різанню 240-420 кН/м.

Геотермічний градієнт у середньому становить 3,1-3,2° на 100 м. Геотермічна ступінь у середньому дорівнює 32,8 м/град.

Глибина залягання поверхні метанових газів становить 150-200 м, тобто вугленосна товща порід на шахті розташована в зоні метанових газів. Газоносність порід досягає 2 м³/т.

1.2.2 Границі і запаси вугілля шахтного поля

Границями поля шахти ім. Героїв Космосу згідно гірського відводу, є:

на сході – умовна лінія, що проходить вкрест простягання гірських порід через свердловину №14887 по пластах c₁₁, c₁₀^B и c₉, а по пластах c₈^B, c₇^B, c₇^H, c₆^B, c₆^H, c₅, c₄², c₂, c₁, c₁⁰ - умовна лінія, що проходить через крапки, які відстоють на північний захід в 25м від свердловини №13792 і в 10м від свердловини №14160 (загальна з полем шахти «Західно-Донбаська»);

на заході - умовна лінія, проведена уздовж залізничної магістралі Лозова-Синельникове;

на півні (за повстанням) - Богданівський і Вербський скидання;

на півночі (за падінням) - умовна лінія, що проходить із заходу на схід через свердловини №7431, 7947, 15166 і далі по Благодатненському скиданню.

Балансові запаси по шахті ім. Героїв космосу затверджені ГКЗ протоколом №17313 від 20.12.74 (таблиця 1.1).

Підрахунок запасів зроблений у кондиціях:

а) для балансових запасів:

- мінімальна потужність пласта простої і складної будови по сумі вугільних пачок і внутріпластих породних прослойв прийнята 0,60 м;

- максимальна зольність із обліком 100-процентного засмічення внутріпластих прослоями - 30%;

б) для забалансових запасів:

- мінімальна загальна потужність - 0,45м;

- максимальна зольність із урахуванням засмічення - 35%.

Балансові запаси в існуючих границях становили 182,4 млн.т.

Промислові запаси визначені шляхом виключення з балансових запасів категорій А+В+З₁ втрат у запобіжних ціликах, бар'єрних ціликах і експлуатаційних втрат.

У цілому промислові запаси по шахті ім. Героїв Космосу становлять:

чистого вугілля - 146,8 млн.т;

товарного вугілля - 204,6 млн.т.

1.2.3 Проектна потужність і загальна організація роботи шахти

Проектом будівництва потужність шахти була прийнята 1500 тис.т вугілля в рік.

У зв'язку з фактично виявленими тяжкими умовами підтримки гірських виробок і необхідністю виконання великого обсягу ремонтних робіт, інститутом «Дніпродіпрошахт» в 1989 році виконане «Обґрунтування виробничої потужності шахти ім. Героїв Космосу», яким вона визначена в обсязі 1,2 млн.т у рік за 300 робочих днів. В останні роки шахта працює стабільно, видобуток вугілля коливається в межах 1300-1400 тис.т у рік.

Завданням на розробку дійсного проекту встановлена потужність шахти передбачена в обсязі 1400 тис.т вугілля в рік, що й прийнято.

Відповідно до «Норм технологічного проектування вугільних і сланцевих шахт», а також завданням на проектування прийнятий наступний режим роботи:

- число робочих днів у році для шахти - 300;

- п'ятиденний робочий тиждень для трудящих з одним загальним і одним вихідним днем за графіком;

- тривалість робочої зміни на підземних роботах - 6 годин, на поверхні - 8;

- кількість робочих змін в очисних і підготовчих вибоях - три по видобутку вугілля або проведенню виробок і одна ремонтно-підготовча;

- кількість робочих змін на поверхні - 3.

1.2.4 Розкриття шахтного поля

Поле шахти ім. Героїв Космосу складається із чотирьох блоків: блоку №1, блоку №2 (тільки пласти с₁₀^B и с₉, прирізані від шахти «Західно-

Донбаська») і блоки №3 і За. Розкриття шахтного поля здійснено двома вертикальними центрально-здвоєними стволами – головним і допоміжним, а також вентиляційною свердловиною.

Блок №1 розташований у середині шахтного поля, блоки №3 і За примикають до нього із західної, а блок №2 - зі східної сторони. У цей час пласти розкриті в блоках №1 і 2.

Розкриття блоку №1 здійснено двома вертикальними центрально-здвоєними стволами (головним і допоміжним).

Таблиця 1.1
Запаси вугілля по пластам шахти ім. Героїв Космосу

Індекс пласта	Марка вугілля	Балансові запаси, тис.т						Забалансові запаси, тис.т
		A	B	A+B	3 ₁	A+B+3 ₁	3 ₂	
c ₁₂	ДГ _{зп}	-	-	-	-	-	-	10645
c ₁₁	ДГ _{зп}	1694	11720	13414	12656	26070	-	6164
c ₁₀ ^п	ДГ _{зп} , ДГ _к	4275	4816	9091	18529	27620	-	581
c ₉	ДГ _{зп} , ДГ _к	6762	6589	13351	23322	36673	-	2079
c ₈ ^п	ДГ _{зп}	-	8715	8715	12828	21543	-	366
c ₇ ^п	ДГ _{зп}	-	-	-	-	-	-	15441
c ₇ ^п	ДГ _{зп} , Г _{зп}	3148	8442	11590	9261	20851	-	8767
c ₆ ^п	ДГ _{зп}	-	-	-	-	-	-	12269
c ₆ ^п	ДГ _{зп}	-	-	-	-	-	-	3618
c ₅	ДГ _{зп} , Г _{зп}	2556	8163	10719	12021	22740	-	3711
c ₄ ²	ДГ _{зп} , Г _{зп}	-	-	-	-	-	-	5881
c ₂	Г _{зп}	-	-	-	-	-	-	10754
c ₁	ДГ _{зп} , Г _{зп}	-	-	-	28728	28728	-	1668
c ₁ ⁰	Г _{зп}	-	-	-	-	-	-	5391
У тому числі в похилому полі західного крила пласта c ₉								
c ₉	ДГ _к	2958	1470	4428	2244	6672	-	256
Усього по шахті		18435	48445	66880	117345	184225	-	87335

Допоміжний ствол діаметром 6,0 м служить для спуска-підйому людей, матеріалів і встаткування, а також для подачі свіжого повітря в шахту.

Головний ствол діаметром 7,5 м служить для видачі вугілля й породи, а також для виводу вихідного струменю повітря.

Головний і допоміжний стоволи пройдені на повну глибину. В обводнених наносах стоволи закріплені чавунними тюбінгами з бетонним заповненням закріпленого простору, у корінних породах - монолітним бетоном.

Для розкриття пластів від навколоствольних дворів пройдений

відкаточний квершлаг на горизонті 350м (пласт c_{11}) і два відкаточних квершлаги на горизонті 370м (пласт c_{10}^B).

У нижньої технічної границі шахти на горизонті 470 м були пройдені відкаточні квершлаги №1 і 2, якими розкриті шари c_{10}^B і c_{11} . У процесі експлуатації через високий гірський тиск ці квершлаги на ділянці приблизно одного кілометра прийшли в неробочий стан і актами списані. Замість них відповідно до «Робочого проекту розкриття й підготовки шару c_{10}^B в уклонному полі на східному крилі шахти», у 1984 році, пройдені квершлаги №3 і 4 у розвантаженіх зонах для поліпшення умов їхньої підтримки.

Між горизонтами 370 м (від магістральних штреків) і 470м (навколоствольний двір) пройдений похилий конвеєрний квершлаг під кутом 10 градусів. Крім того, від магістральних вентиляційних штреків горизонту 350м пройдені два вентиляційних квершлаги №1 і 2 на головний ствол (горизонт 330м).

Горизонт 350 м призначений для обслуговування гірських робіт на пласті c_{11} , горизонт 370 м – на пласті c_{10}^B і видачі вугілля із пластів c_{11} і c_{10}^B .

Горизонт 470м є дренажним, на ньому розташований центральний шахтний водовідлив.

Для поліпшення провітрювання на виробничий площаці шахти пробурена повіряноподаюча свердловина до горизонту 470м діаметром 2,6м у світлі.

Принципова схема розкриття блоку №1 – основного на шахті – не переглядається. Для відпрацювання шарів c_{10}^B , c_{11} і c_9 у блокі №1 нові виробки по розкриттю не передбачаються.

Блок №2 має наступні розміри: по простяганню - 2 км, по падінню - 3,4 км.

Пласти c_{10}^B і c_9 у блокі №2 розкриваються похилими квершлагами на границі із блоком №1 з діючих магістральних штреків горизонтів 370м і 350м.

Видача гірської маси в кількості 4666 т/доб і породи в кількості 293 т/доб здійснюється вугільним і породним підйомами відповідно головного ствола.

Виконання кліт'ювим підйомом допоміжного ствола добового обсягу допоміжних грузо-людських операцій здійснюється в межах нормативного часу - 18 годин.

У проекті будівництва шахти продуктивність піднімальних установок була прийнята для виробничої потужності 1500 тис.т вугілля в рік (5000 т/доб).

1.2.5 Підготовка та система розробки шахтного поля

На шахті впроваджена погоризонтна схема підготовки.

У цей час опрацюються пласти c_{11} , c_{10}^B і c_9 у блокі №1. Ведеться підготовка шарів c_{10}^B і c_9 у блокі №2.

Для підготовки пластів c_{10}^B і c_{11} у блокі №1 у середині шахтного поля від квершлагів горизонтів 350м і 370м пройдені магістральні вентиляційні (пласт c_{11}), відкаточні і конвеєрні (пласт c_{10}^B) штреки, які розділяють пласти по

падінню на уклонні й бремсбергові поля. У нижньої границі (горизонт 470м) по пласту s_{10}^B пройдені східний і західний відкаточні (дренажні) штреки. У верхньої границі західного крила пласта s_{11} пройдений перший західний магістральний штрек горизонту 350м. Уклонне поле відпрацьовується стовпами в напрямку повстання, бремсбергове - падіння.

Пласт s_9 у цей час відпрацьовується в бремсберговому полі блоку №1 на магістральні виробки пластів s_{10}^B и s_{11} (горизонти 370м і 350м). Виймкові штреки проходяться від цих магістралей до розкриття пласта з ухилом до 11 градусів, потім по повстанню пласта. Стовпи спрацьовуються в напрямку падіння.

У блоці №2 проведені магістральні відкаточний і вентиляційний штреки пласта s_{10}^B і конвеєрний і вентиляційний штреки пласта s_9 . Виробки перебувають у зоні раніше відпрацьованої лави (розвантажувальна).

Кріплення магістральних виробок здійснюється кільцевим кріпленням зі СПВ-27 із щільністю установки 2-3 рами/пог.м.

Довжини виймкових стовпів визначається конфігурацією верхньої й нижньої границь шахтного поля, тектонічними порушеннями й границями робочих потужностей пластів. Максимальна довжина склала 1800м.

Пласти відпрацьовуються по стовповій системі розробки без переходу лав у суміжні стовпи. Виймкові штреки за лавами погашаються а для нових лав проходиться вприсічку до виробленого простору. Керування покрівлею - повне обвалення. Довжина лав 180-200 м.

Очисні вибої обладнані механізованими комплексами МКД-80 і МКД-99. Проходка виробок здійснюється комбайнами 4ПП-2М и ГПКС. Кріплення виймкових штреків здійснюється металевим арковим податливим кріпленням зі СВП типу КШПП.

1.2.6 Підземний транспорт

Для транспортування гірської маси від очисних вибоїв до головного ствола шахти на цей час працює система повної конвеєризації. Використовуються стрічкові конвеєри із шириною стрічки 800мм - типів 1ЛТ80, 1Л80, 2Л80, на виймкових конвеєрних штреках із шириною стрічки 1000 і 1200мм - типів 1Л100Д, 2Л100В, 2ЛБ120 - на магістральних конвеєрних виробках.

Як допоміжний транспорт для доставки матеріалів і встаткування, перевезення породи й людей прийнята система рейкового транспорту на колію 900 мм. На магістральних горизонтальних виробках працює локомотивний транспорт із використанням акумуляторних електровозів АМ8Д, вантажних вагонеток ВГ-3,3 і пасажирських вагонів ВПГ-18.

Для виконання транспортних операцій по відкатці породи, доставці встаткування, матеріалів і людей передбачається збереження відкочування акумуляторними електровозами типу АМ8Д на колію 900 мм.

Вагова норма поїзда (без обліку маси вагонетки), визначена розрахунком становить 43 т, що відповідає від 9 до 13 вагонеток у складі.

По виїмковим, бортовому і збірному штрекам для виконання допоміжних операцій проектом передбачається використання канатних підошвених доріг типу ДКНЛ-1 (які дозволяють обслуговувати виробку до 2 км).

Проектом передбачається використання вагонеток ВГ-3,3 для виконання всіх допоміжних транспортних операцій по магістральним і дільничним виробкам.

1.2.7 Вентиляція шахти. Дегазація

Шахта ім. Героїв Космосу віднесена до надкатегорної по метану і небезпечної по вибуховості вугільного пилу. За час її роботи раптових викидів вугілля й газу не спостерігалося.

По даним депресійної зйомки, виконаної 8-м ВГСО м. Павлограда абсолютна метановість шахти становить $40,8 \text{ м}^3/\text{хв}$, відносна – $24,42 \text{ м}^3/\text{т}$.

Провітрювання шахти в цей час здійснюється вентиляторною установкою ВРЦД-4,5 (375 об/хв), розташованої у головного ствола.

Регулювання режиму роботи вентилятора здійснюється зміною кута установки лопаток його направляючих апаратів, а реверсування вентиляційного струменя повітря - перекланням положення ляд у каналах установки.

Схема провітрювання шахти - центральна, спосіб провітрювання - всмоктувальний. Свіже повітря подається по допоміжному стволу і повітряній свердловині, вивід вихідного струменю повітря здійснюється по головному стволу.

Схема провітрювання виїмкових ділянок возвратноточна з видачею вихідного струменя на масив вугілля, по пласту c_{10}^8 – возвратноточна з підсвежнням і видачею вихідного струменя на масив вугілля.

Провітрювання гараж-зарядних камер і складу ВМ відособлене.

Існуюча схема провітрювання шахти наступна:

1.2.8 Техніка безпеки і промсанітарія

За даними геологічного звіту, вугільні пласти і породи не небезпечні по раптовим викидам і гірським ударам, що підтверджується звітом експлуатації шахти.

Споруди підйомних, вентиляторних і компресорних установок мають вентиляцію для ліквідації тепла від працюючого встаткування, яке необхідно в літню пору.

Ці споруди оснащені вантажопідйомними засобами для ремонту і огляду вузлів устаткування.

Частини встаткування, які обертаються, обгороджені кожухами й захисними щитами, огороженні мають також технологічні прорізи, площаці для обслуговування встаткування й електроустаткування.

Дотримано вимоги протипожежних норм у частині засобів пожежогасіння і виходів зі споруд. У системах автоматизації передбачені необхідні засоби захисту, сигналізації, блокувань і контролю технологічних

параметрів при роботі установок.

Розрахунки показують, що очікувані рівні вібрацій (загальний - 99 дБ, локальний - 105дБ) не перевищують нормативних значень-101 і 112дБ відповідно, тобто додаткові заходи не потрібні.

Очікувані рівні шуму в очисних і підготовчих вибоях (92 і 96дБ) перевищують нормативні значення (80дБ), тому, відповідно до «Інструкції із забезпечення шумової й вібраційної безпеки праці у вугільних шахтах», для всіх працівників, що піддаються впливу виробничого шуму, застосовуються засоби індивідуального захисту типу «Беруши».

При виймці пластів с₉, с₁₀⁸ и с₁₁, у місцях пилоутворення при виймці вугілля, проходці виробок комбайнами, навантаженню, перевантаженню і розвантаженню гірської маси, залежно від рівня пилоутворення, проектом прийняті виконання на шахті наступних заходів:

- зрошення в місцях інтенсивного пилоутворення;
- установка водяних заслонів;
- індивідуальні засоби захисту від пилу;
- додавання змочувачів до води;
- подача повітря до очисних і підготовчих вибоїв з урахуванням оптимальної швидкості його руху по пиловому фактору.

Для попередження й локалізації вугільного пилу на східних і західному магістральних конвеєрних штреках горизонту 350м передбачається:

- побілка штреку;
- установка сланцевих заслонів;
- збирання, зв'язування пилу, яке відкладалося.

Для можливості виконання відповідних заходів проектом передбачається розведення по гірських виробках протипожежно-зрошувального трубопроводу й забезпечення спеціальним устаткуванням і матеріалами для боротьби з пилом.

З метою зниження пилоутворення при веденні очисних робіт передбачається попередне зволоження вугілля в масиві. Даний захід здійснюється за допомогою нагнітання води в масив вугілля по свердловинам довжиною 70-80м, пробуреним попереду очисного вибою зі збірного і бортового штреків. Діаметр свердловин 45мм. Свердловини буряться паралельно очисному вибою. При підході очисного вибою на величину зони опорного тиску до підключеної до насоса свердловини остання відключається, а до насоса підключається нова свердловина.

Боротьба з пилом в очисних вибоях здійснюється зрошенням при роботі очисного комбайна. Питома витрата води становить 25 л/т.

По змісту кремнезему породний пил є силикозобезпечний. При більших концентраціях вугільний пил може з'явитися причиною захворювання антракозом. У зв'язку із цим для індивідуального захисту органів дихання робітників передбачається використання противопильових респіраторів типу ПРШ742, ефективність яких становить 99 %.

Застосування респіраторів дозволяє знизити пилоутворення повітря до

норми ПДК.

Температура повітря в шахті не буде перевищувати припустимих ПБ значень, тому заходи щодо її зниження не передбачаються.

1.2.9 Якість вугілля

Вугілля шахти, за даними геологічних звітів, відносяться до марок ДГ і Г. Величина зольності чистих вугільних пачок змінюється від 4 до 18 відсотків, з урахуванням засорення природними прошарками - збільшується до 30%. По середньому вмісту сірки вугільні пласти мало- і середньосіркові - від 1,2 до 2 відсотків.

Величини значень показників якості, за даними геологічного звіту, наведені в таблиці 1.2. Фактичні показники якості склали: зола - 37,6%, сірка - 0,93%, вологість - 11,1%. Норма якості по золі: середня - 40%, гранична - 52%.

1.2.10 Технологічний комплекс поверхні шахти

Технологічний комплекс на поверхні шахти складається з наступних вузлів, скомпонованих у двох блоках головного й допоміжного стволів:

- вугільного комплексу;
- породного комплексу;
- комплексу обміну й відкочування вагонеток у надшахтній споруді допоміжного ствола.

Вугільний комплекс.

Вугілля зі скіпів через вирви надходить у дві приймальні бункера загальною ємністю 120 тонн, з яких хитними живильниками і стрічковими конвеєрами подається на два рохоти типу ГІТ51А, де розділяється на класи +100 мм і 0-100 мм. Вугілля класу +100 мм надходить на стрічкові конвеєри, де здійснюється вибірка сторонніх предметів і великогабаритних шматків породи, потім через жолоби надходить у два осередки акумулюючих бункерів ємністю 2000 тонн. З бункерів вугілля за допомогою хитних живильників і потім системи стрічкових конвеєрів транспортується на ЦОФ «Павлоградська».

Породний комплекс. Порода, видана скіповим підйомом головного ствола, через розвантажувальний пристрій надходить у прийомний бункер (100 тонн), з якого хитними живильниками і стрічковим конвеєром направляється в бункери пункту навантаження в автомашини. З бункерів порода за допомогою живильників типу КТ-14 вантажиться в автомашини, якими доставляється на плоский відвал.

Комплекс обміну й відкочування вагонеток у надшахтній споруді допоміжного ствола. Обмін вагонеток у клітях повністю механізований. Кліті встановлюються на посадкових кулаках, які мають привод. Столові двері відкриваються за допомогою агрегатів АВ-8, вагонетки виштовхуються із клітей і надходять у зону дії канатних штовхачів. Накопичені партії вагонеток канатні штовхачі видають за межі надшахтної споруди. Подача вагонеток до клітей здійснюється канатними штовхачами і агрегатами обміну вагонеток.

1.2.11 Очисні роботи

Відповідно до кута падіння та потужності пласта, до роботи прийнятий mechanізований комплекс КД80 з комбайном КА80. Для подачі емульсії в гідросистему мехкріплення використовуються дві насосні станції СНТ-32. Поперед лави, під металеві верхняки рамного кріплення встановлюється кріплення посилення з гіdraulічних стілок ГСК на відстані 40-50 м попереді лави.

Технологічна схема передбачає човникову виїмку із фронтальною самозарубкою комбайна на кінцевих ділянках лави. Пересування секцій кріплення здійснюється слідом за посуванням комбайна. Керування покрівлею повне обвалення.

По лаві відбите вугілля транспортується скребковим конвеєром СП-202 до збірного штреку, де надходить на скребковий перевантажувач ПТК-1, з подальшим транспортуванням по стрічкових конвеєрах 1ЛТ80, 1Л80 або 2ЛТ80 назустріч свіжому струменю повітря до вуглеспускного гезенка. Привібійний конвеєр СП-202 дозволяє розмістити головки і систему подачі комбайна на штреках.

Матеріали та устаткування доставляються по бортовому і збірному штреках канатними підошвеними дорогами типу ДКНЛ.

Для безперервного автоматичного контролю вмісту метану в рудничній атмосфері безпосередньо на робочих місцях приймаємо пристрої СМС 1/2, «Сигнал-2». Як переносні датчики контролю метану використовуються шахтні інтерферометри ШИ-10, ШИ-11, «Сигнал-2».

1.2.12 Проведення підготовчих і нарізних виробок

Відповідно до прийнятого способу підготовки підготовчі виробки, як магістральні, так і виїмкові проводяться по пласту із присічкою порід і є практично горизонтальними. У зв'язку із цим відповідно до «Прогресивних технологічних схем розробки пластів на вугільних шахтах» для проведення підготовчих виробок прийняті проходницькі комбайні типу 4ПП-2М и ГПКС.

Проведення розрізних печей здійснюється за допомогою іншенарізних комбайнів типу КН-78.

2. СУЧАСНІ МЕТОДИ ПРОГНОЗУ ЗМІЩЕННЯ ШАРУВАТОГО МАССИВУ В СИСТЕМІ «ШАРУВАТИЙ МАСИВ-КРИПЛЕННЯ ВИЇМКОВОЇ ВИРОБКИ»

2.1. Стан проблеми кріплення виїмкових виробок в слабких породах

Надійність і ефективність роботи вугільної шахти обумовлена, в першу чергу, забезпеченням не тільки стійкості гірничих виробок, а й збереженням їх експлуатаційних характеристик за діючими нормами і правилами безпеки [1,2]. Тому оцінці стану виробок, особливо пластових, по яким йдуть основні транспортні потоки вугілля, необхідно приділяти належну увагу.

На жаль, наявна техніко-економічна інформація про стан підготовчих виробок на шахтах України поки не викликає оптимізму [3-6]. Заміри переміщень в підготовчих виробках на шахтах Західного Донбасу вказують на високу інтенсивність процесу зрушення шаруватої вуглевмісної товщі слабких порід на всіх ділянках периметра виробки (нерідко перевищують 1 м і більше), що також підтверджують розрахунки за нормативними методиками.

Крім того, шарувата вуглевмісна товща слабких порід Західного Донбасу породжує вкрай негативне явище - пучиння порід підошви виробок. Відзначається, що процес здимання підошви підготовчих виробок відбувається в тій чи іншій мірі в багатьох регіонах Донбасу. Найбільш інтенсивно цей вид проявів гірського тиску має місце в Західному Донбасі, де його вплив позначається не тільки на деформації кріплення, зменшенні перерізу виробок (вентиляція, водовідлив), але і на засобах транспорту (не дотримуються мінімально допустимі зазори, максимально допустимі кути нахилу рейкового шляху і в ряді випадків відбувається його руйнування). Наводяться дані, що більше 40% виробок вимагають неодноразових ремонтів і перекріплення протягом періоду їх експлуатації. Аналогічну думку викладено в роботі, де вказується надзвичайна актуальність забезпечення стійкості підготовчих виробок шахт Західного Донбасу - необхідність в ремонті відчувають до 50% їх протяжності. Особливо негативно на стійкість виробок впливає пучиння підошви, внаслідок чого в ПрАТ «ДТЕК Павлоградвугілля» в різні роки здійснювалася зривання підошви сумарною довжиною більше 130 км, ремонт рейкового шляху - близько 180 км із зайнятістю до 10,4% від усіх підземних робітників на зазначеных операціях. Особливо важкі умови підтримки виробок спостерігаються на глибинах. Також є відомості, що підтверджують надзвичайну актуальність проблеми боротьби з пучинням підошви: частка витрат на підтримку виробок досягає 15% в собівартості видобутку вугілля, а 45% всіх виробок, що вимагають ремонтно-відновлювальних робіт обумовлені проявом пучиння.

Що стосується кріплення підготовчих виробок, то найбільш широке поширення) найшла металева податлива, шатрова різновид якої (КШПП) в ПрАТ «ДТЕК Павлоградвугілля» використовується у 82,7% від загального обсягу металокріплених. Всі дослідники пов'язують високу інтенсивність

проявів гірського тиску в Західному Донбасі з фізико-механічними властивостями шаруватої вуглевмісні товщі. Родовище Західного Донбасу охоплює п'ять районів (Петропавлівський, Павлоградський, Новомосковський, Царичанський і Лозівський) Дніпропетровської і Харківської областей, а вміщують породи на 80% представлені глинистими і піщано-глинистими сланцями (опір стисненню від 2,3 МПа до 62 МПа), схильними до размокання, і до 20% піщаними сланцями і обводненими пісковиками (опір стисненню від 22 МПа до 67 МПа). При размоканні сланці втрачають до 50 ... 80% своїх міцнісних властивостей. Ці дані наведені для оцінки перспективи стійкості майбутніх підготовчих виробок. З одного боку, на вже діючих шахтах перехід на більш глибокі горизонти призводить до різкого зниження стійкості виробок. З іншого боку, будівництво нових шахт при освоєнні Західної частини родовища, наприклад, в Новомосковському районі зіткнеться з ще більш низькими властивостями міцності вуглевмісної товщі.

Отже, зростає відповіальність у прийнятті технічних рішень і прогнозі складових зміни стану масиву в процесі ведення гірничих робіт набуває ще більш високу значимість. Тому необхідно розробляти методи, які дозволяли б оперативно здійснювати досить достовірний для потреб практики прогноз проявів гірського тиску в конкретних гірничо-геологічних і гірничотехнічних умовах експлуатації підготовчих виробок.

2.2. Розвиток геомеханічних моделей дослідження стану системи «породний масив - кріплення виробки»

При вирішенні завдань геомеханіки постійно доводиться стикатися з проблемою розрахунку систем, що мають складну геометричну конфігурацію і нерегулярну фізичну структуру. Гірський масив і породи які складають його мають велике число характеристик, облік яких при математичному моделюванні можливий тільки при використанні кінцево-різницевих схем розрахунків. В даний час стандартом де-факто при вирішенні геомеханічних задач став метод кінцевих елементів (МКЕ).

З кінця 60-х і до середини 80-х років ХХ століття виконані великі дослідження вченими-механіками, які заклали основу методології застосування МКЕ до вирішення завдань геомеханіки в пружно і пружно-пластичній постановці. У цей період основною проблемою, що перешкоджала широкому застосуванню МКЕ в геомеханіки, стала невідповідність між складністю створених математичних моделей і обчислювальними потужностями комп'ютерів.

Основи методології рішення методом кінцевих елементів великої кількості різноманітних завдань математичної фізики. Для вирішення фізично нелінійних задач було запропоновано три варіанти методу збільшень: змінної жорсткості, початкових напружень і початкових деформацій. Всі завдання розглядаються як плоскі, а в основу рішення покладено метод переміщень з використанням ізопараметричних кінцевих елементів.

В роботі Фадеєва А.Б. значна увага приділена обліку неоднорідності фізико-механічних показників порід, що складають гірський масив. Проведено класифікацію математичних моделей порід по їх міцності. Показана методика інтегрування математичних моделей порід в розрахункову схему методу скінчених елементів. Особливо слід виділити рішення задачі визначення НДС гірського масиву з урахуванням повної діаграми «напруження-деформації». Запропонована методика пошуку рішення за допомогою методу фіктивних зусиль добре узгоджується з енергетичними уявленнями про рівновагу суцільного середовища в позамежному стані матеріалу.

За допомогою МКЕ проведено аналіз поведінки покрівлі очисної виробки в однорідному тонкослоистому породному масиві. Результати були отримані для вирішення плоскої задачі в пружною постановці.

При цьому автори використовували алгоритм масштабного збільшення переміщень, запропонований Л.Сегерліндом. Проведено порівняльний аналіз розподілу напружень в однорідному і тонкослоистому гірському масиві. У рішенні враховувалося взаємне проковзування шарів без тертя на майданчиках контакту. Отримані результати були використані для вирішення основного поставленого завдання, а саме, визначення геометричних параметрів зони просідання покрівлі над очисним забоєм.

Математичне моделювання методом кінцевих елементів процесу зародження зони руйнування порід поблизу виробка і закономірності її формування в області перерозподілу напружень виконано в роботі [7]. Методом кінцевих елементів вивчено [8] просторове напружене-деформованій стан при зведенні кріплення-оброблення в забої виробки. Рішення завдання виконувалося при різних геометричних параметрах неоднорідного шаруватого масиву для виробка круглого перерізу, розташованої в слабких глинистих породах.

Методика, що дозволяє уникнути ітераційного процесу при вирішенні нелінійної задачі геомеханіки, наведена в роботі [8]. Розроблена процедура, яка об'єднує методи змінних параметрів пружності і початкових деформацій.

Комбінований метод розрахунку напружене-деформованого стану гірського масиву розроблений на основі спільноговикористання різних кінцево-різницевих методів. Запропонована методика розширює можливості розрахунку гірських масивів в нелінійній постановці, але автори не наводять математичну формулювання завдання, що забезпечує переход при вирішенні завдання з однією кінцево-різницевої моделі в іншу. Зокрема, залишається не розкритою одна з основних проблем - визначення граничних умов на майданчиках контакту різних кінцеворізницевих схем.

В роботі Ламоніна Є.В. розроблена методика розрахунку породного масиву, ослабленого декількома системами тріщин. Створено математичну модель міцності матеріалу, що враховує вплив кута нахилу системи тріщин, розсікають породу. Запропонована чисельна модель масиву, порушеного системами тріщин, дає можливість наочно і з достатнім ступенем точності оцінити напружене-деформований стан трещиноватого масиву.

У роботах Павлової Л.Д. розглянуті аспекти моделювання об'ємного граничного напруженого стану вуглевородного масиву при підземній відпрацьовуванні світи пластів. У процесі розрахунків враховуються кут внутрішнього тертя порід, кут падіння пластів, фізико-механічні характеристики окремих породних пластів. Як критерій втрати міцності використовується узагальнений критерій Кулона-Мізеса, що дозволяє істотно спростити процедуру визначення межі зони порушених порід.

З наведеного огляду видно, що використання методу скінченних елементів при вирішенні завдань геомеханіки знаходить все більш широкий діапазон застосування. Постійно удосконалюється і ускладнюється методика проведення розрахунків за допомогою МКЕ. Рішення об'ємної задачі в пружно-пластичній постановці в геомеханіки стало нормою [5]. У багатьох випадках дослідники враховують велике число чинників і їх комбінацій, які мають характеристики локальних збурень системи. Розвиток математичних моделей направлено на пошук доступною точності розрахунку, проведеного за класичними методиками, але враховує максимисьмо можливу кількість уточнюючих даних.

По суті аналізу робіт, присвячених кінцево-різницевого моделювання геомеханічних процесів в околиці підземних виробок, чітко простежуються такі тенденції розвитку даного напрямку досліджень:

По-перше, найбільш широко використовується метод кінцевих елементів, що має найбільш універсальні можливості. (Однак, при вирішенні складних геомеханічних задач, одночасно розглядають многофакторність механічних властивостей порід, неоднорідності структури вміщує масиву і геометричних параметрів об'єкта, можлива комбінація МКЕ, методу граничних елементів, (МГЕ) і методу дискретних елементів (МДЕ) для отримання більш достовірного рішення. Основна складність застосування такої комбінації полягає в об'єктивному відображені фізичної сутності процесу на кордоні сполучення елементів моделі, які досліджуються різними кінцево-різницевими методами).

По-друге, багато завдань вимагають просторової постановки для більш достовірного відображення геомеханічних процесів, що і спостерігається на сучасному етапі оцінки стану масивів гірських порід.

По-третє, все більше число робіт присвячується обліку неоднорідності механічних характеристик масиву і його структури, мас велике значення впливає на результати розрахунку поля НДС навколо виробок, як це було встановлено при дослідженні широкого кола завдань.

По-четверте, неухильно розширяється кількість робіт, в яких враховується не тільки пластичні і реологічні властивості гірських порід, а й повна діаграма їх деформування (граничне і позамежне стану), що, на думку автора, підвищує достовірність розрахунків і наближає геомеханічну модель до реального об'єкту.

Можна виділити три основні групи факторів, що впливають на розвиток методики застосування МКЕ в задачах геомеханіки:

- опис фізико-механічних характеристик порід - постійно триває ускладнення описової частини характеристик порід різного типу і умов їх залягання;

- аналіз технологічних чинників будівництва і експлуатації шахт і підземних споруд - розробка нових типів і методик використання початкових і граничних умов, що застосовуються в розрахунковій моделі;

Коригування теорій міцності і пластичності, які використовуються при комп'ютерному моделюванні - особливості кінцеворізнених схем дозволяють модернізувати умови переходу і розвитку зон граничного і позамежного стану матеріалу, одержуваних в ході розрахунку МКЕ.

2.3. Технологія обчислювального експерименту для вирішення задач геомеханіки

Отримання надійних, якісно і кількісно адекватних результатів обчислювального експерименту для задач геомеханіки можливо тільки з комплексним урахуванням широкого спектра характеристик математичної моделі, ряд яких повинен проходити оптимізацію для кожної серії виконуваних розрахунків і забезпечувати при цьому збіжність обчислень з низькими значеннями привнесених похибок.

Розглянемо детальніше процедуру створення геометричних об'єктів. Спочатку паралельно створюються моделі елементів кріплення і породних шарів, використовуваних при складанні моделі гірського масиву. Вид елементів кріплення і їх якісна складова в розрахунковій схемі прямо залежить від вибору методу розв'язання задачі (в лінійній або нелінійній постановці), оцінки поздовжньої складової НДС гірничої виробки і ступенем необхідної точності одержуваних результатів в зоні гірського масиву, що безпосередньо примикає до контуру виробки.

Процес створення моделей породних шарів ґрунтуються на виборі глобальних умов контакту між поверхнями різних геометричних елементів обраної розрахункової схеми. Якщо модель гірського масиву складається з декількох модельних шарів (їх число може перевищувати число породних шарів) приходиться робити так звану збірку гірського масиву. Збірка полягає в створенні просторової моделі, яка описує гірничо-геологічні умови в зоні впливу виробок і встановлює межі розрахункової зони конкретного завдання. У разі, коли модель гірського масиву розглядається як однорідна, етап складання гірського масиву не потрібна і відбувається переход безпосередньо до формування контуру гірничої виробки.

Формування контуру виробки визначає умови установки елементів кріплення. Крім того, відбувається прив'язка виробок і їх сполучень до гірничо-геологічній структурі гірського масиву. Структурно-логічні помилки, що виникають при формуванні контуру виробки, призводять до неможливості правильного сполучення поверхонь елементів кріплення і гірського масиву.

В кінці першого етапу відбувається поєднання елементів кріплення з

контуром виробка. Цей етап досить трудомісткий і значною мірою є визначальним при вирішенні завдань зі змінною поверхнею контакту. Якщо в розрахунках не планується використання елементів кріплення, як частин розрахункової схеми, блоки «Елементи кріплення» і «Установка кріплення виробки» ігноруються.

Другий етап актуалізації розрахункової схеми не має яскраво вираженої структуризацією і, по суті, полягає в двох неодноразово виконуваних операціях - формування бібліотечних модулів опису властивостей матеріалів і прив'язування властивостей матеріалів до конкретних елементів розрахункової схеми. На цьому етапі визначається тип завдання (лінійна, нелінійна і т.п.), на основі якого буде проводитися наступний обчислювальний експеримент. Якщо при оптимізації розрахункової схеми виникне необхідність змінити тип завдання, доведеться повторно розробити бібліотеки матеріалів і виконати прив'язку властивостей матеріалів до елементів розрахункової схеми.

Найбільш трудомісткий і вимагає високого рівня професійної підготовки етап - оптимізація розрахункової схеми. Він складається з трьох взаємопов'язаних кроків, кожен з яких реалізує один і той же алгоритм дій, що застосовуються до різних показників розрахункової схеми. Суть даного алгоритму полягає в наступному: задаємо конкретні значення обраних показників (для першої ітерації вибираємо значення вихідчи з попереднього досвіду); виконуємо тестовий розрахунок; якщо результат розрахунку задовільний, переходимо до оптимізації наступної групи параметрів; при нездовільному результаті проводимо додатковий аналіз отриманих даних і на його підставі вибираємо нові значення аналізованих показників; повертаємося до початку циклу.

Оптимізація параметрів зовнішніх розмірів моделі полягає у виборі таких значень висоти, ширини і глибини, при яких вплив граничних умов на результат обчислювального експерименту мінімізується, з одного боку, а з іншого, - мінімізується крок збільшення при визначенні розрахункових точок. І схема навантаження, і умови контакту елементів моделі оптимізуються на підставі зниження локальних збурень, що виявляються в зонах сполучення елементів моделі і поверхонь, що сприймають зовнішні навантаження.

У висновку, створена розрахункова схема, повністю або в своїй основі задоволяє умовам постановки задачі, використовується як основа виконання обчислювального експерименту. Будь-які зміни розрахункової моделі в ході обчислювального експерименту знаходяться в межах робіт по її актуалізації і носять приватний характер, зумовлює особливості конкретного обчислювального експерименту. У разі, коли обчислювальний експеримент не можна виконати в повному обсязі при існуючій розрахункової схемою, така схема розглядається як неадекватна і вимагає повторної актуалізації.

3. ДОСЛІДЖЕННЯ МОДЕЛІ ДЕФОРМУВАННЯ СИСТЕМИ «ШАРУВАТИЙ МАСИВ-КРІПЛЕННЯ ВИЙМКОВОЇ ВИРОБКИ»

Звісно, що найбільш прийнятні чисельні методи вирішення подібного класу складних геомеханічних задач, незважаючи на високі можливості, не володіють спільністю цього рішення. Тому необхідний методологічний підхід до вирішення даного завдання, метою якого є пошук поєднання умови найбільш широкої області застосування результатів досліджень з умовою мінімально допустимого обсягу обчислень по перебору різних варіантів поєднання геометричних, механічних та силових параметрів системи «шаруватий масив-кріплення підготовчої виробки». Причому друга умова виконати досить складно, так як для підвищення адекватності результатів рішення реальним гірничо-геологічними і гірничотехнічними умовами необхідно аналізувати велику кількість змінних параметрів у всьому діапазоні їх варіацій.

Тому геомеханічне обґрунтування моделі виконано за низкою основних вихідних параметрів і діапазонів зміни:

- глибини розташування підготовчої виробки пласта і її розміщення щодо вугільного пласта;
- структури вуглевмісної товщі прилеглих породних шарів, інтервалу зміни їх механічних характеристик і властивостей вугільного пласта;
- гірничотехнічних параметрів самої пластової підготовчої виробки: її форма та розміри, тип і параметри кріплення міжрамного огорожі, закрепленого простору і їх механічні характеристики;
- дослідження НДС тестових геомеханічних моделей на предмет обґрунтування їх розмірів за умовою стабілізації компонент напружень на кордонах моделі відповідно до вихідним негідростатическим станом;
- тестування геомеханічних моделей на предмет якісного відповідності їх НДС сучасними уявленнями і результатами досліджень процесів зрушення породного масиву в околиці гірничої виробки;
- геомеханічного обґрунтування умов контакту по площинах нашарування породних шарів вуглевмісні товщі.

3.1. Дослідження розрахункової моделі обчислювального експерименту

У Західному Донбасі практично повсюдно поширений погоризонтний спосіб підготовки шахтного поля, при якому основними підготовчими виробками є пластові штреки, що перетинають вугільний пласт з кутом падіння $\alpha = 1\dots 6^\circ$ [2]. Дільничні пластові виробки (хідники) проводяться, крім верхнього, також з нижнім підриванням для поліпшення умов перевантаження вугілля з забійного конвеєра на скребковий конвеєрного штреку. Щоб охопити розташування щодо вугільного пласта всіх пластових виробок, побудована більш загальна геомеханіческая модель штреку, проведеної з підриванням покрівлі і ґрунту, з якої легко отримати окремий випадок пластової виробки

шахт Західного Донбасу.

Механічні характеристики породних шарів детально досліджені в роботах [10, 11], аналіз яких дозволив вибрati (на 85 ... 90%) такi інтервали їх зміни в шаруватої Вуглевмісні товщі порід (породні шари нумеруються починаючи від вугільного пласта, індекси

«*P*» - покрівля, «*G*» - підошва пласта: модуль деформації $E_i^{K,P} = (0,3 \dots 1) \cdot 10^4$ МПа; коефіцієнт Пуассона $\mu_i^{K,P} = 0,25$; опір стискуванню $\sigma_{cyc}^{K,P} = 10 \dots 40$ МПа. Механічні характеристики вугільних пластів практично постійні: $E^y = 0,35 \cdot 10^4$ МПа $\mu^y = 0,35$ $\sigma_{cyc}^y = 30 \dots 40$ МПа.

Наступним етапом обґрунтування геомеханічної моделі є оцінка параметрів виробень (дільничних і основних підготовчих) пластів і їх крепи. На шахтах Західного Донбасу застосовуються дві серії типорозмірів поперечних перерізів гірських виробок з крепленнями КМП-А3 і КШПП. Типові перерізи КМП-А3 - 9,2; 13,8; 18,3 і КШПП- 10,5; 14,4; 17,7 охоплюють практично увесь інтервал перерізів виробок пластів, що проводяться, а тестові розрахунки показали їх істотний вплив, особливо, на полі переміщень поблизу виробка, що є предметом досліджень в подальших розділах дисертації.

Рамна кріплення моделюється реальною геометрією поперечного перерізу СВП з товщиною спец профілю (123 мм для СВП- 27 і 137 мм для СВП- 33) і ширинорою (149,5 мм для СВП- 27 і 166 мм для СВП- 33). Спецпрофіль виготовляється із сталі Ст5 [52] з механічними характеристиками:

розрахункова межа плинності $\sigma_T = 270$ МПа, модуль пружності $E_p = 21 \cdot 10^4$ МПа, коефіцієнт Пуассона $\mu_p = 0,3$. Залізобетонне затягування моделюється з реальними параметрами: довжина - 500 мм, ширина - 200 мм, товщина 50 мм; модуль деформації матеріалу затягування $E^z = 2 \cdot 10^4$ МПа, коефіцієнт Пуассона $\mu^z = 0,2$. Дільничні підготовчі виробка мають крок установки рам 0,7, 0,8 м і, як правило, для міжрамного обгороджування використовується дерев'яне затягування з модулем деформації $E^z = 1,1 \cdot 10^4$ МПа.

Для відвертання інтенсивного втискування в слабкі породи підошви стійок рами їх встановлюють на підп'ятники, які моделюються плитою завтовшки 20мм квадратної форми розміром 200x200 мм. Відповідно до паспорта проведення будь-якого виробка закріпний простір має бути ретельний забутовано гірською породою або, як це поширено в Західному Донбасі, заповнено тампонажним розчином. Середньостатистична ширина закріпного простору по проектних рішеннях для Західного Донбасу прийнята рівною $\delta_{3,P} = 200$ мм. Деформаційні характеристики порідного забутування в першому наближенні можна оцінити $E^{заб} = 50$ МПа $\mu^{заб} = 0,25$. Механічні характеристики тампонажного каменю змінюються в інтервалі $\sigma_{cyc}^{3,P} = 5 \dots 20$

$$\text{МПа } E^{3,II} = (1 \dots 2) \cdot 10^4 \text{ МПа } \mu^{3,II} = 0,25 \dots 0,3.$$

Розташування виробка відносно вугільного пласта може виконуватися з нижнім підриванням до 1,0...1,3 м або без такої. Тому в моделі проаналізований вплив величини нижнього підривання від 0 до 1,3 м і виявленій, що, моделюючи підривання 0,9 м з боку повстання пласта, змінюються погрішності до 10% поля НДС системи в районі опор стійок рамної крепи; у інших областях моделі погрішність набагато нижча.

Завершальний етап обґрунтування початкових параметрів моделі торкається таких гірничо-геологічних чинників, як кут падіння α вугільного пласта і глибина H розташування виробка. На шахтах Західного Донбасу кут падіння пластів змінюється в межах $\alpha = 1 \dots 6^\circ$ зі значенням, що найчастіше зустрічається $\alpha = 3 \dots 4^\circ$ яке і прийняте постійним ($\alpha = 4^\circ$) у усіх подальших дослідженнях. Нині глибина розробки в Західному Донбасі змінюється від 90 до 585 м. Враховуючи відпрацювання верхніх пластів, що розташовуються на глибині до 200 м, досліджуваний діапазон зміни глибини розташування виробка прийнятий в інтервалі від 200 до 600 м.

В результаті за усіма початковими параметрами виконано геомеханічне обґрунтування моделі для визначення НДС шаруватого масиву слабких порід навколо підготовчого виробка виконана оцінка максимально достатніх (для адекватного відображення) розмірів моделі по вертикальній Y горизонтальній X і осьовій Z координатам. Критерій - компоненти напруги на межах моделі не більше ніж на 10% відрізняються від початкового негідростатичного стану.

$$\sigma_y = \gamma H ; \sigma_x = \lambda \gamma H , \quad (2.1)$$

$$\text{де } \lambda = \frac{\mu}{1-\mu} \quad ; \quad \gamma - \text{середньозважена об'ємна вага породи.}$$

Для вибору розмірів побудована тестова модель істотно неоднорідної складної вуглевміщаючої товщі з реальним відображенням усіх конструктивних елементів рамного кріплення КШПП (спецпрофіль СВП- 27, залізобетонне затягування, підп'ятники під стійками, породне забутовування закріпного простору). Аналіз епюр компонент напруги (на рис. 3.1 і рис. 3.2 приведені обмежені по розмірах епюри близької до виробка частини масиву) дає наступні результати для розмірів моделі $Y=80\text{м}$ $X=60\text{м}$ $Z=3\text{м}$ (7 рам, встановлених уздовж виробка з кроком 0,5 м).

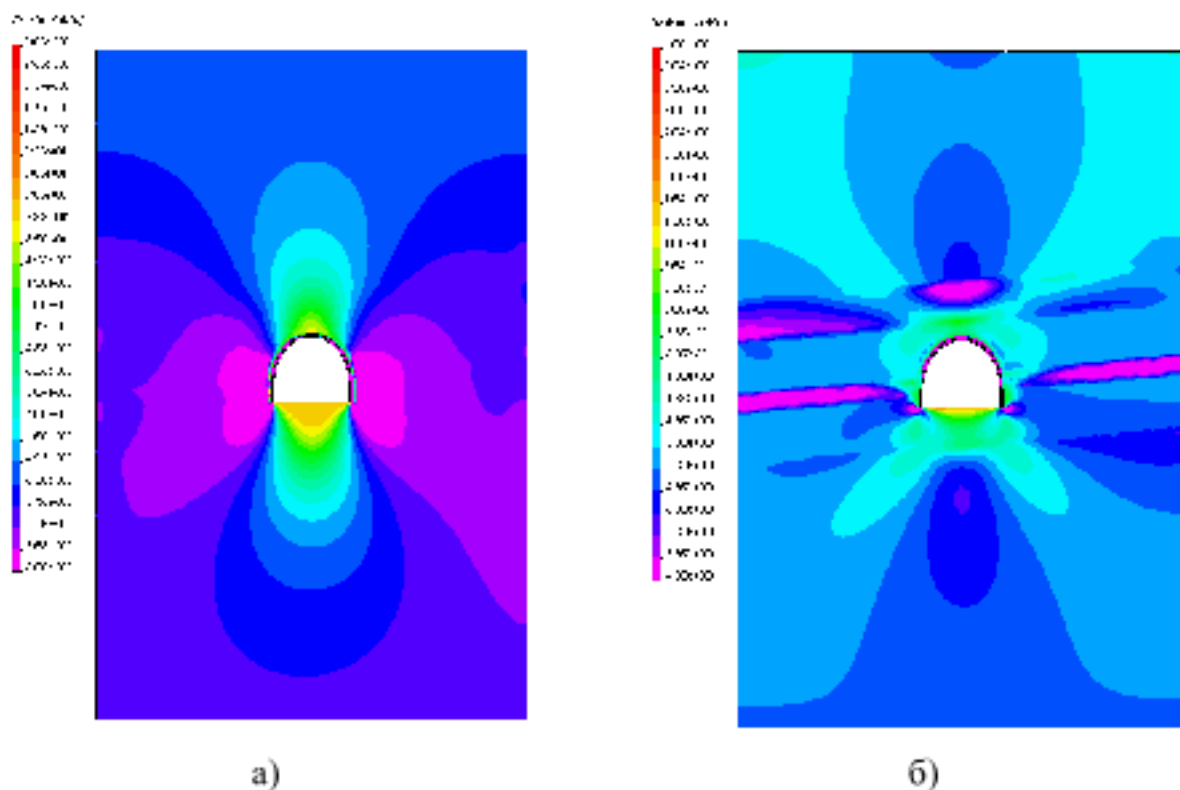


Рис. 3.1. Розподіл а) вертикальних σ_y і б) горизонтальних σ_x напруг в околиці штреку пласта без порушення контакту між породними шарами

Уздовж верхньої і нижньої межі моделі (глибина розташування осі виробка $H = 200$ м $\gamma = 25$ кН/м³) встановлюється практично рівномірний (відхилення до 0,3%) розподіл вертикальної компоненти σ_y приблизно, удвічі меншому розташуванні бічних меж моделі. У покрівлі і підошва утворюються зони розвантаження, у боках - опорний тиск, що цілком узгоджується з існуючими геомеханічними дослідженнями. Горизонтальна напруга σ_x стабілізується з відхиленнями до 5,7% на верхній і нижній межах моделі по відношенню до $\lambda\gamma H$ незайманого масиву. На бічних межах моделі є коливання σ_x до 9,2%, що пояснюється виникненням додаткової напруги, що вигинає σ_x від прогину породних шарів у напрямі порожнини виробка і не суперечить класичним положенням механіки підземних споруд - найбільш інтенсивний вигин породних шарів відбувається поблизу виробка і істотно посилюється (як це буде показано надалі) при прослизанні породних шарів один відносно одного. Також звертає увагу об'єктивно існуючий факт підвищеної стискутої напруги σ_x у вугільному пласті, що має більшу жорсткість і збільшений коефіцієнт Пуассона порівняно з порідними шарами, що характерно для гірничо-геологічних умов Західного Донбасу.

По епюрах дотичних τ_{xy} і приведених σ (за законом Кулона-мору) напруги проаналізована достовірність моделі на предмет відповідності

класичним представленням геомеханіки деформації порідного масиву навколо виробка. Дотична напруга в порідному масиві має обурення в околиці виробка на глибину до двох її ширини l_0 , а на межах моделі практично зникають, що обумовлено рисим кутом падіння вугільного пласта і несуттєвою різницею між векторами головної напруги σ_1 і σ_2 а також векторами напруги σ_y і σ_x . При цьому спостерігається симетрична зміна знаку дотичної напруги практично по вертикальній осі виробка. Ці результати тестування моделі вказують на відповідність результатів класичним положенням механіки твердого тіла, що деформується.

Аналіз епюри розподілу приведеної напруги показує їх повну стабілізацію на нижній межі моделі, на верхній межі моделі коливання σ відносно невеликі (до 7,1%) і обумовлені прогином породних шарів в порожнину виробка. Поблизу штреку спостерігається яскраво виражена область розвантажених порід в покрівлі і підошва, а у боках виробка є концентрація напруги, що інтенсифікує процес здуття ґрунту в слабких породах. Ці результати узгоджуються з представленнями, що склалися про геомеханічні процеси в околиці виробка.

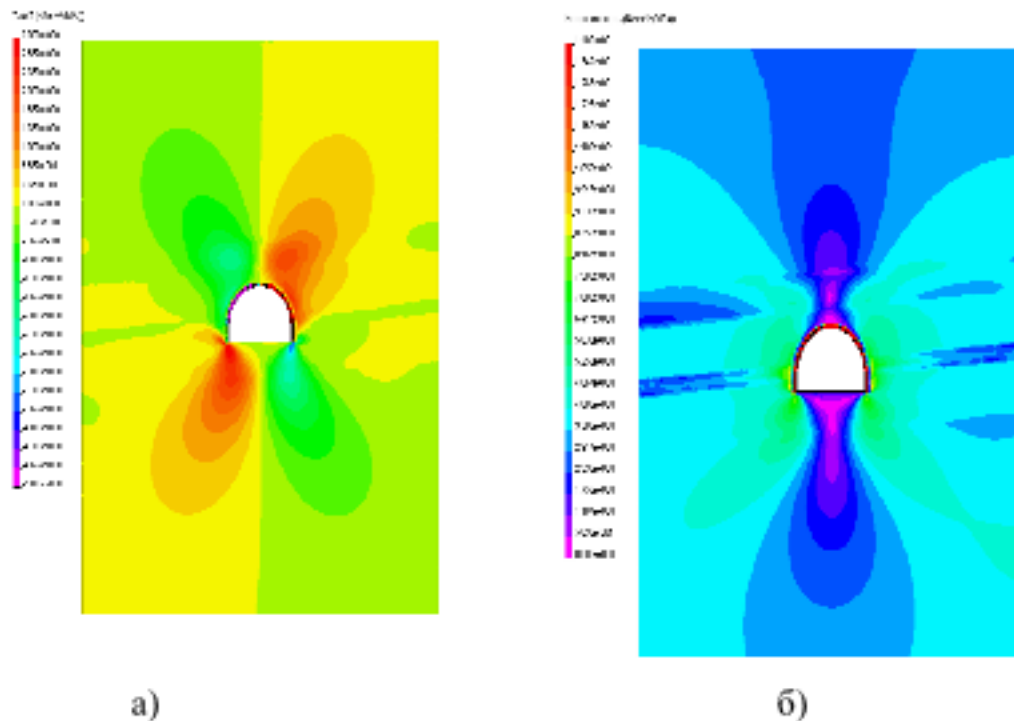


Рис. 3.2. Розподіл а) дотичних τ_{xy} і б) приведених σ напруг в околиці штреку пласта без порушення контакту між породними шарами

Тестовими розрахунками встановлено, що на осьовій координаті Z досить моделювання 7 рам; тоді крайові ефекти (коливання компонентів НДС більше 10%) спостерігаються тільки в крайніх і (по деяких компонентах) в сусідніх з крайніми рамами, а поле НДС в трьох центральних рамках і приконтурному масиві залишається практично незмінним при 7 і більше рамках по координаті Z .

Підсумовуючи цей етап обґрунтування моделі, слід протестувати спори розподілу компонент напруги в рамному кріпленні (див. рис. 3.1 і рис. 3.2) на предмет їх якісної відповідності існуючим представленням і результатам досліджень. У рамному кріпленні в околиці замку зведення горизонтальна напруга σ_x мають близькі до максимуму значення і міняють знак від розтягування у внутрішніх волокнах до стискування в зовнішніх, що вказує на наявність максимуму моменту, що вигинає, деформує раму всередину виробка. Максимуми вертикальної напруги σ_y розташовуються біжче до опори стойки рами і також міняють знак по товщині перерізу, формуючи момент, що вигинає, деформує раму у бік порідного масиву. Найбільші значення приведеної напруги σ також розташовуються в околиці замку зведення і у боках рами на ділянці між п'ятою зведення і опорою стойки. Численні шахтні спостереження підтверджують появу пластичних деформацій, і руйнування рамної крепи на відмічених ділянках.

Таким чином, вказані розміри моделі цілком задовільні за критерієм допустимого в гірничотехнічних розрахунках спотворення початкового поля напруги на її межах. В межах цих розмірів моделі довколишню покрівлю вугільного пласта представляють (у 87...92% випадків) два-три порідні шари, складені слабкими аргиллитами, алевролитами і піщаниками. Довколишня підошва у більше, ніж 90% випадків складається з одного-двух шарів тих же слабких гірських порід. Ці виведення побудовані на аналізі стратиграфічних колонок геологічних розрізів вугільних пластів Західного Донбасу. Крайні порідні шари покрівлі і підошви моделі мають підвищену потужність, оскільки не враховують рисопотужні прошарки (до 0,1...0,3 м), що роблять незначний вплив на досить однорідні механічні характеристики крайніх шарів моделі.

Метод кінцевих елементів передбачає побудову нової моделі кожного разу при зміні яких-небудь її геометричних параметрів, що істотно ускладнює і збільшує об'єм обчислень. Тому бажано обмежитися по-можливості меншою кількістю варіантів структури шаруватого масиву в околиці штреку при максимальному їх охопленні реальної будови вуглевмісної товщі порід Західного Донбасу. Відповідно до цього по стратиграфічних колонках вугільних пластів шахти ім. Героїв Космосу були побудовані три схеми I, II і III, які приведені на рис. 3.3. Принцип їх побудови вибраний такий: схема I характеризує, хоча і в деякій мірі усереднену, але не переважаючу структуру порід в околиці штреку, представлена шарами зниженої потужності; схема II характеризує протилежну (що також не переважає) структуру з потужніших породних шарів; схема III найбільш характерна для вуглевмісної товщі

Західного Донбасу, проте не є всеосяжною. Тому для максимально достовірного опису НДС вуглевмісних порід проведені розрахунки для кожної з трьох схем і проаналізовані особливості їх поля напруги. Потужності вугільних пластів змінюються в діапазоні від 0,7 до 1,2 м.

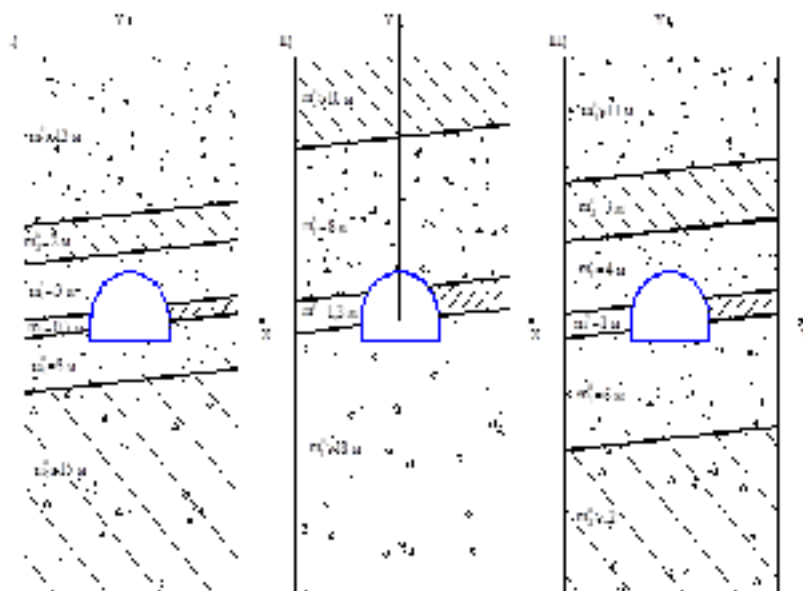


Рис. 3.3. Моделі структури вуглевмісної товщі порід ш. ім. Герой Космосу з найбільш поширеним інтервалом $m^y = 0,7 \dots 1,2$ м.

Будова вуглевміщаючої товщі характеризується, окрім вказаних параметрів, також силами зчеплення між окремими шарами. Загальновідомо, що зв'язок породних шарів по площинам нашарування відрізняється низькими прочностними характеристиками (особливо в слабких породах Західного Донбасу): опір розтягуючим зусиллям практично відсутній, а опір зрушенню знижений іноді на порядок і більше в порівнянні з породою самого шару. Тому умови сполучення суміжних шарів обґрунтовані на предмет можливості порушення їх контакту в процесі деформації і переміщення (прослизання) один відносно одного по площинам нашарування.

Для усіх трьох моделей розрахунок НДС виконаний по двох варіантах: без порушення контакту між шарами і при їх взаємному прослизанні. Спочатку (до проведення виробки) зв'язок між порідними шарами не порушений, тому оцінена дотична напруга τ_{xy} по площинам нашарування за умови цілісності контакту. Максимуми τ_{xy} розташовуються на лініях, нахилених до вертикальної осі виробка під кутом $\pm 25 \dots 30^\circ$ незалежно від структури вуглевмісної товщі порід і їх деформаційних характеристик. Також загальною закономірністю є підвищена концентрація τ_{xy} у околиці виробка на глибину до півтора ширини l_s виробка при $H = 200$ м, яка збільшується із зростанням глибини розташування виробки.

Для первинного аналізу НДС розглянуті три варіанти (А, Б і В) механічних характеристик вуглевмісної товщі порід, які зведені в таблицю 3.1.

Заздалегідь слід зазначити, що в силу вказаних вище причин сили зчеплення по площинам нашарування невеликі і складають десяті долі (рідше за одиницю) МПа.

Таблиця 3.1

Варіанти співвідношення деформаційних характеристик
вуглевмісної товщі в тестових моделях

Порідні шари вуглевмісної товщі	Деформаційні характеристики породних шарів і вугільного пласта по варіантах		
	«А»	«Б»	«В»
Перший порідний шар підошви m_1^P	$E_1^P = 0,1 \cdot 10^4$ МПа $\mu_1^P = 0,25$	$E_1^P = 0,5 \cdot 10^4$ МПа $\mu_1^P = 0,25$	$E_1^P = 0,28 \cdot 10^4$ МПа $\mu_1^P = 0,25$
Другий порідний шар підошви m_2^P	$E_2^P = 0,28 \cdot 10^4$ МПа $\mu_2^P = 0,25$	$E_2^P = 0,28 \cdot 10^4$ МПа $\mu_2^P = 0,25$	$E_2^P = 0,28 \cdot 10^4$ МПа $\mu_2^P = 0,25$
Вугільний пласт m^y	$E^y = 0,35 \cdot 10^4$ МПа $\mu^y = 0,35$	$E^y = 0,35 \cdot 10^4$ МПа $\mu^y = 0,35$	$E^y = 0,35 \cdot 10^4$ МПа $\mu^y = 0,35$
Перший порідний шар покрівлі m_1^K	$E_1^K = 0,1 \cdot 10^4$ МПа $\mu_1^K = 0,25$	$E_1^K = 0,5 \cdot 10^4$ МПа $\mu_1^K = 0,25$	$E_1^K = 0,28 \cdot 10^4$ МПа $\mu_1^K = 0,25$
Другий порідний шар покрівлі m_2^K	$E_2^K = 0,5 \cdot 10^4$ МПа $\mu_2^K = 0,25$	$E_2^K = 0,1 \cdot 10^4$ МПа $\mu_2^K = 0,25$	$E_2^K = 0,28 \cdot 10^4$ МПа $\mu_2^K = 0,25$
Третій порідний шар покрівлі m_3^K	$E_3^K = 0,28 \cdot 10^4$ МПа $\mu_3^K = 0,25$	$E_3^K = 0,28 \cdot 10^4$ МПа $\mu_3^K = 0,25$	$E_3^K = 0,28 \cdot 10^4$ МПа $\mu_3^K = 0,25$

Встановлено, що при $H = 200$ м в області до $1,5\%$ дотичні напруги $\tau_{xy} = 4...5$ МПа перевищують сили зчеплення породних шарів по площинам нашарування, що призводить до порушення їх контакту і прослизання один відносно одного. Цей чинник посилюється із зростанням глибини розташування виробки. Звідки слідує логічний висновок про те, що для підвищення достовірності моделювання необхідно розглядати шари з порушеними контактами і ввести умову можливості їх прослизання один відносно одного.

Також слід зазначити високу концентрацію τ_{xy} (від - 83 МПа до +81 МПа) стабільно розташовану в опорах стійкі рами, що необхідно враховувати при оцінці її стійкості.

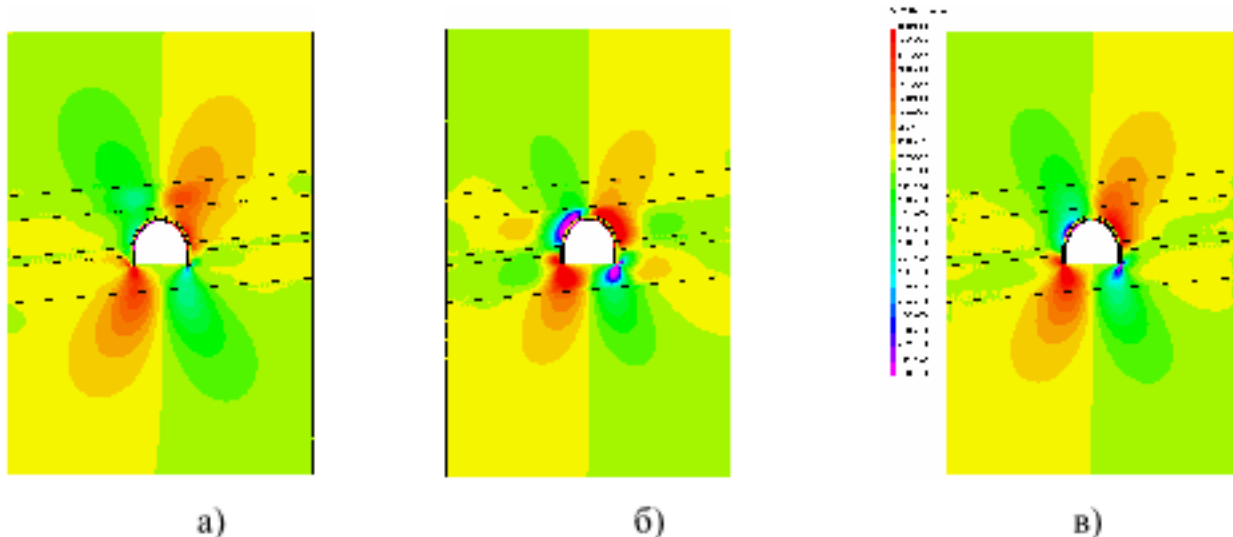


Рис. 3.4. Епюри дотичної напруги в моделі I при прослизанні породних шарів на глибині $H = 200\text{м}$: а - варіант А; б - варіант Б; в - варіант В

Відповідно до отриманих результатів наступним етапом досліджень був виконаний розрахунок НДС (при прослизанні шарів) трьох моделей по варіантах А, Б і В співвідношення деформаційних характеристик породних шарів вуглевмісної товщі. Аналіз розподілу дотичної напруги τ_{xy} при прослизанні породних шарів найнаочніше ілюструється «дрібнослоїстий» (рис. 3.4) моделлю I і «крупнослоїстий» моделлю II (рис. 3.5) при $H = 200\text{м}$. Загальною рисою впливу прослизання шарів є збільшення максимумів τ_{xy} на практично постійну величину в 1,64 до 1,77 разу незалежно від структури вуглевмісної товщі і деформаційних властивостей породних шарів, що складають. Причому, область поширення підвищених τ_{xy} залишається майже незмінною (зростання не більше ніж на 5...10%) порівняно з непорушеним контактом між шарами. Примітним є факт розподілу τ_{xy} по потужності кожного порідного шару з максимумом посередині і мінімумом на їх поверхнях, що узгоджується з класичними рішеннями, тоді як для моделі без прослизання шарів відбувається досить плавна зміна τ_{xy} при перетині сусідніх шарів. Очевидно, прослизання сусідніх шарів один відносно одного в околиці виробка посилює прояви гірського тиску і облік цього явища в геомеханічних моделях об'єктивно потрібний.

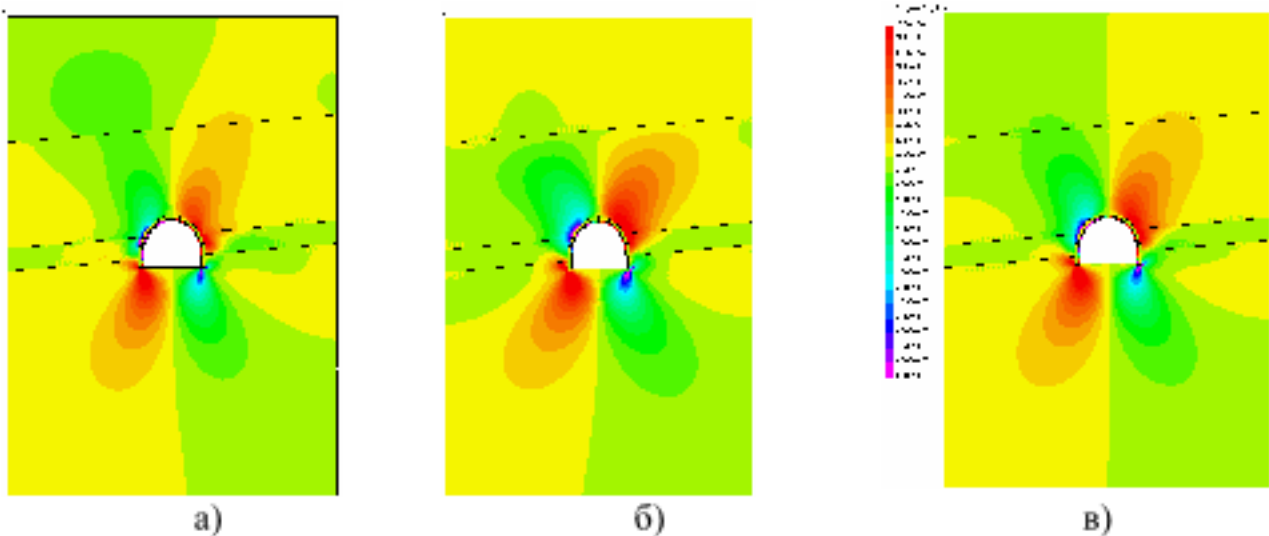


Рис. 3.5. Дотична напруга в моделі II при прослизанні породних шарів на глибині $H = 200\text{м}$: а - варіант А; б - варіант Б; в - варіант В

Порівняння трьох моделей за величиною дотичної напруги проведено по значеннях максимумів τ_{xy} різниця між якими найбільш значима, чим в інших областях моделей. Відмічено, що максимуми τ_{xy} істотно залежать від співвідношень деформаційних характеристик шарів, причому найвищі значення максимумів прибавають різні моделі (при зміні $E_i^{K,P}$), що вимагає детальнішого аналізу. Найбільш «фрізнополюсні» моделі I і II мають найбільші відхилення максимумів τ_{xy} : від 7,0 до 17,6% для варіанту А, від 18,6 до 19,5% для варіанту б і від 1,7 до 7,8% для варіанту В. Порівняння моделей I і III (рис. 3.6) дає наступні відхилення максимумів τ_{xy} : від 4,7 до 12,6% для варіанту А, від 9,8 до 11,6% для варіанту б і від 0 до 4,9% для варіанту В. При порівнянні максимумів τ_{xy} моделей II і III отримані такі результати відхилень: від 2,2 до 4,3% для варіанту А, від 8,6 до 11,2% для варіанту б і від 1,7 до 3,4% для варіанту В.

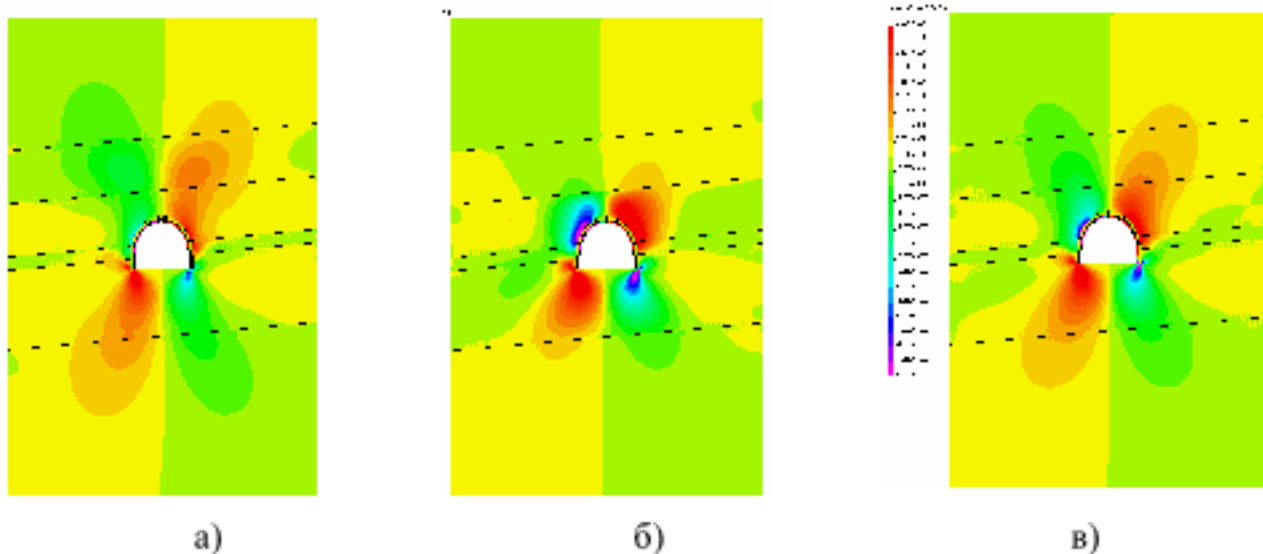


Рис. 3.6. Дотична напруга в моделі III при прослизанні породних шарів на глибині $H = 200\text{м}$: а - варіант А; б - варіант Б; в - варіант В

Таким чином, якщо в якості базової прийняти модель III та більшість відхилень максимумів τ_{xy} потрапляють в інтервал до 10%, який вважається цілком допустимим при гірничотехнічних розрахунках. Ще більше переваг моделі III дає той факт, що відхилення τ_{xy} у не максимальних областях істотно менше.

Порівняння епюор σ_y для різних структур вуглевмісної товщі дає такі результати:

По-перше, розміри області опорного тиску і розвантаження відрізняються для різних моделей не більше ніж на 6,7%.

По-друге, розтягуюча напруга в покрівлі і підошва на відповідних ділянках області розвантаження розрізняється за величиною не більше ніж на 13,1%.

По-третє, максимальна стискаюча напруга σ_y у боках виробки спостерігається для моделі II, величина яких перевищує σ_y для моделі III на 12,2%, а для моделі I - на 27,0%. Проте розміри зони дії цих максимумів σ_y поблизу контура виробка невеликі, всього $(0,03..0,04)\text{ м}$ і не роблять вирішального значення в загальній картині поля напруги σ_y .

По-четверте, максимальна напруга σ_y стабільно розташовуються в опорах стійкі рами, що має своє логічне обґрунтування в частині акумуляції опорного тиску найбільш жорсткою частиною моделі. В зв'язку з цим в перерізі стойки рами переважає стискаюча напруга σ_y які в 6,4...7,2 разу перевершують ті, що розтягають і досягають величини $\sigma_y = (357...398)\text{ МПа}$, що знаходитьться

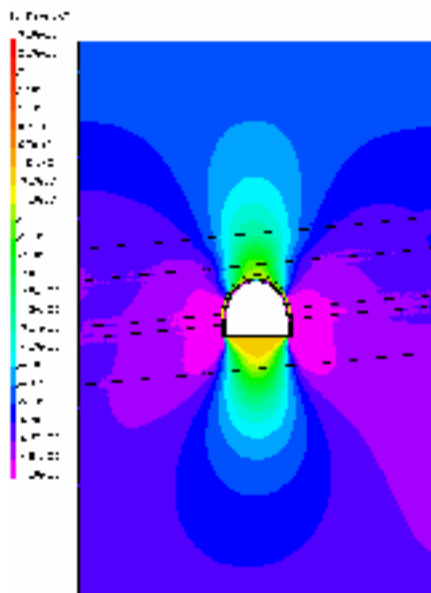
за межею плинності стали Ст5 (з якої виготовляється рама кріплення із спецпрофілю СВП). Цей факт вказує на втрату стійкості рамного кріплення вже на глибині $H = 200\text{м}$.

По-п'яте, максимуми σ_y у стойках рами мають досить стабільне значення для різних моделей: відхилення σ_y у моделі I по відношенню до моделі III складає 8,5%, а в моделі II - 2,1%.

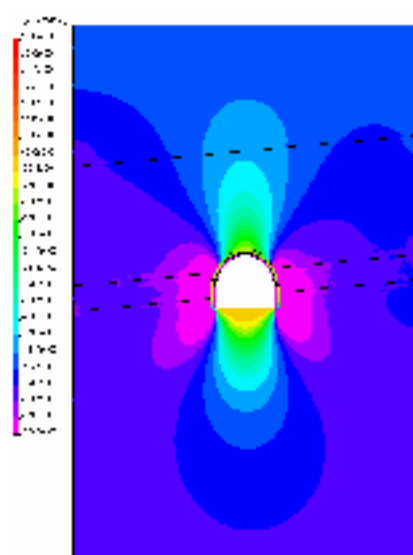
Одже, за результатами аналізу поля напруги σ_y можна зробити висновок про універсальність моделі III для опису структури вуглевмісної товщі порід при підвищенні їх деформаційних характеристик в шарах безпосередньої покрівлі і підошви.

Для повноти аналізу поля вертикальної напруги σ_y розрахунок НДС досліджуваних трьох моделей був зроблений при підвищенні жорсткості породних шарів безпосередньої покрівлі і підошви по варіанту **Б** і при однорідному шаруватому масиві по варіанту **В**, що дає аналогічні результати.

а)



б)



в)

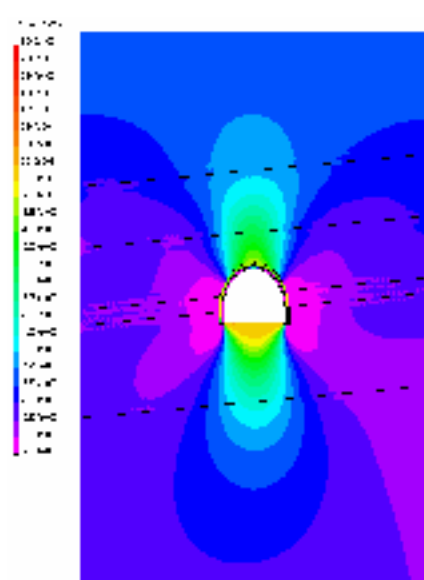


Рис. 3.7. Епюри вертикальної напруги (варіант А) при прослизанні породних шарів на глибині $H = 200\text{м}$: а - модель I; б - модель II; в - модель III

У результаті, аналіз поля розподілу вертикальної напруги σ_y дозволив сформулювати два виведення.

По-перше, модель III з достатньою для гірничотехнічних розрахунків точністю дозволяє описати структуру вуглевмісної товщі вугільних пластів Західного Донбасу.

По-друге, механічні характеристики породних шарів істотно впливають на величину σ_y у різних елементах моделі.

Аналогічно вертикальній напрузі σ_y проаналізований поля горизонтальної напруги σ_x у усіх трьох моделях структури вуглевмісної товщі при різних поєднаннях механічних характеристик порід. На рис. 3.8 приведені епюри σ_x у моделях I, II і III при поєднанні механічних характеристик шарів по варіанту А. найнаочніше проявляється напруга σ_x від дії моментів, що вигинають, в кожному шарі в околиці виробка. Відповідно до класичних представлень прогини шарів породжують додаткову горизонтальну напругу σ_x :

- у покрівлі виробки розтягуюча напруга σ_x з'являється в нижніх шарах, а що стискають σ_x - у верхніх шарах, як це і повинно бути при зміщенні порід покрівлі в порожнину виробка;
- у підошві виробка розтягуюча напруга з'являється у верхніх шарах, що вказує на переміщення порід ґрунту в порожнину виробка;
- у боках виробка чітко виражена зона опорного тиску, в якій міняється знак кривизни вигину шарів : безпосередньо на контакті з виробкам розтягування відбувається в нижніх шарах, на відстані до однієї ширини l_s виробка розтягування спостерігається у верхніх шарах.

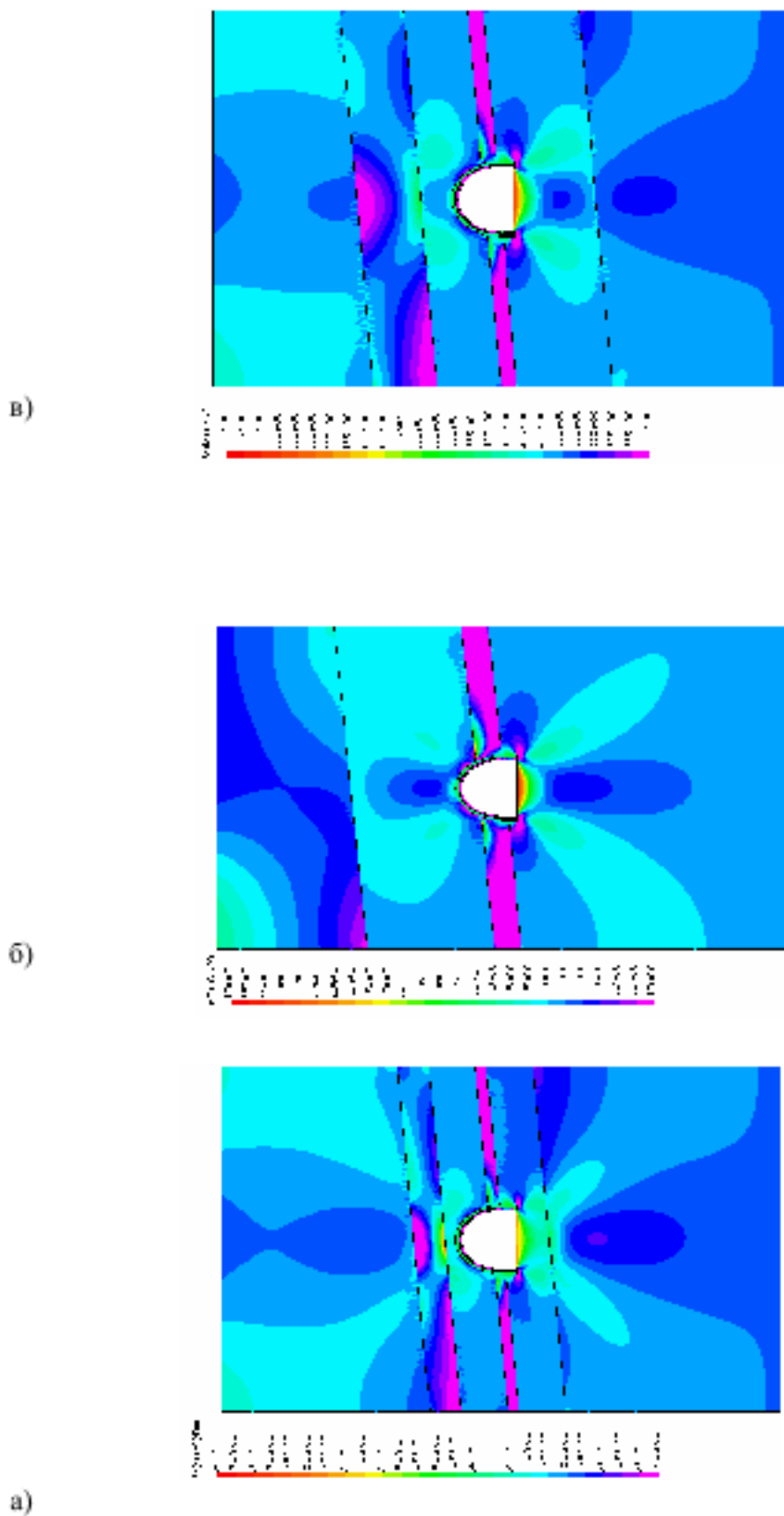


Рис. 3.8. Епюри горизонтальної напруги (варіант А) при прослизанні породних шарів на глибині $H = 200\text{м}$: а - модель I; б - модель II; в - модель III

Унаслідок відмічених особливостей деформації шарів величина горизонтальної напруги σ_x дуже сильно залежить від їх потужності [62] у зоні дії максириських моментів, що вигинають. Тому в даних моделях, що істотно відрізняються по потужності породних шарів, величина σ_x буде різна: в потужніших - менше, в тонших - вище. Таким чином, горизонтальна напруга σ_x є єдиною компонентою, що має значні відмінності в трьох досліджуваних моделях. Проте при детальнішому порівнянні полів σ_x по окремих областях моделей можна виявити досить схожих рис не лише в якісному, але і в кількісному плані:

- у підошва виробки розтягуюча напруга σ_x поширюється на глибину до 0,25^{l_x}, і різниця в розмірах цих областей не перевищує 20%;
- у підошві виробки на глибині (0,35,0,55)^{l_x} розташовується ядро стискування, величина σ_x у якому складає (1,34,1,56)λ_H і максириські відхилення для різних моделей не перевищують 16,7%;
- у порідному шарі безпосередньої покрівлі на висоті (0,1,0,25)^{l_x} дії розтягуючої напруги відмінність компоненти σ_x знаходиться в межах 7...20%;
- у вугільному пласті, незважаючи на відмінності в розмірах зони дії розтягуючої напруги σ_x оцінюваною (0,3,0,55)^{l_x} максимальний розмір відповідає моделі II), їх значення різняться в межах до 20%;
- у районі опор стілок рамного кріплення стискаюча напруга σ_x досить стабільна з відносно постійною зоною їх поширення в (0,23,0,35)^{l_x};
- у самому рамному кріпленні аксимуми розтягуючої і стискаючої напруги σ_x для різних моделей мають незначні відхилення в межах від 4,1 до 13,6%.

Така достатня стабільність поля напруги σ_x при різній структурі углевмещаючих порід пояснюється обліком спільноти деформації шарів порід, що складають товщу, при якому вплив потужності окремого шару помітно знижується.

Для оцінки впливу деформаційних характеристик шарів моделей проведений розрахунок поля напруги σ_x для варіанту б і варіанту В. Аналіз розподілу σ_x показує їх тісний зв'язок з модулем деформації порідного шару і їх співвідношенням між сусідніми шарами. Величина напруги σ_x змінюється у декілька разів на одних і тих же ділянках моделі і полі напруги істотно перетвориться. Чим вище модуль деформації даного шару в порівнянні з сусіднimi, тим більше величини σ_x : жорсткіший елемент сприймає на себе велике навантаження. Це тим більше пояснює зниження максимумів компоненти σ_x у рамній крепі в 2,63...3,95 разу при підвищенні жорсткості породних шарів безпосередньої покрівлі і ґрунту. Проте, як і у варіанті А, у

варіантах Б і В різниця максимумів компоненти σ_x у різних моделях відносно невелика і складає від 4,4 до 17,8% (для варіанту Б) і від 0,3 до 8,6% (для варіанту В).

Таким чином, за результатами аналізу поля розподілу компоненти σ_x можна зробити висновок про допустимість усереднювання структури вуглевмісної товщі порід відповідно до моделі III.

На завершальному етапі цього дослідження проаналізовано поле розподілу приведеної напруги σ що є інтегральним показником інтенсивності дії усіх компонент (σ_y σ_x і τ_{xy}) відповідно до вибраної теорії міцності Кулона-мору. На рис. 3.9 приведені спюри σ для трьох моделей I II і III при співвідношенні деформаційних характеристик шарів по варіанту А.

Співвідношення механічних характеристик породних шарів вуглевмісної товщі робить вирішальний вплив на спірку розподілу σ що цілком природно, оскільки аналогічні тенденції мають місце при аналізі компонент σ_y σ_x і τ_{xy} .

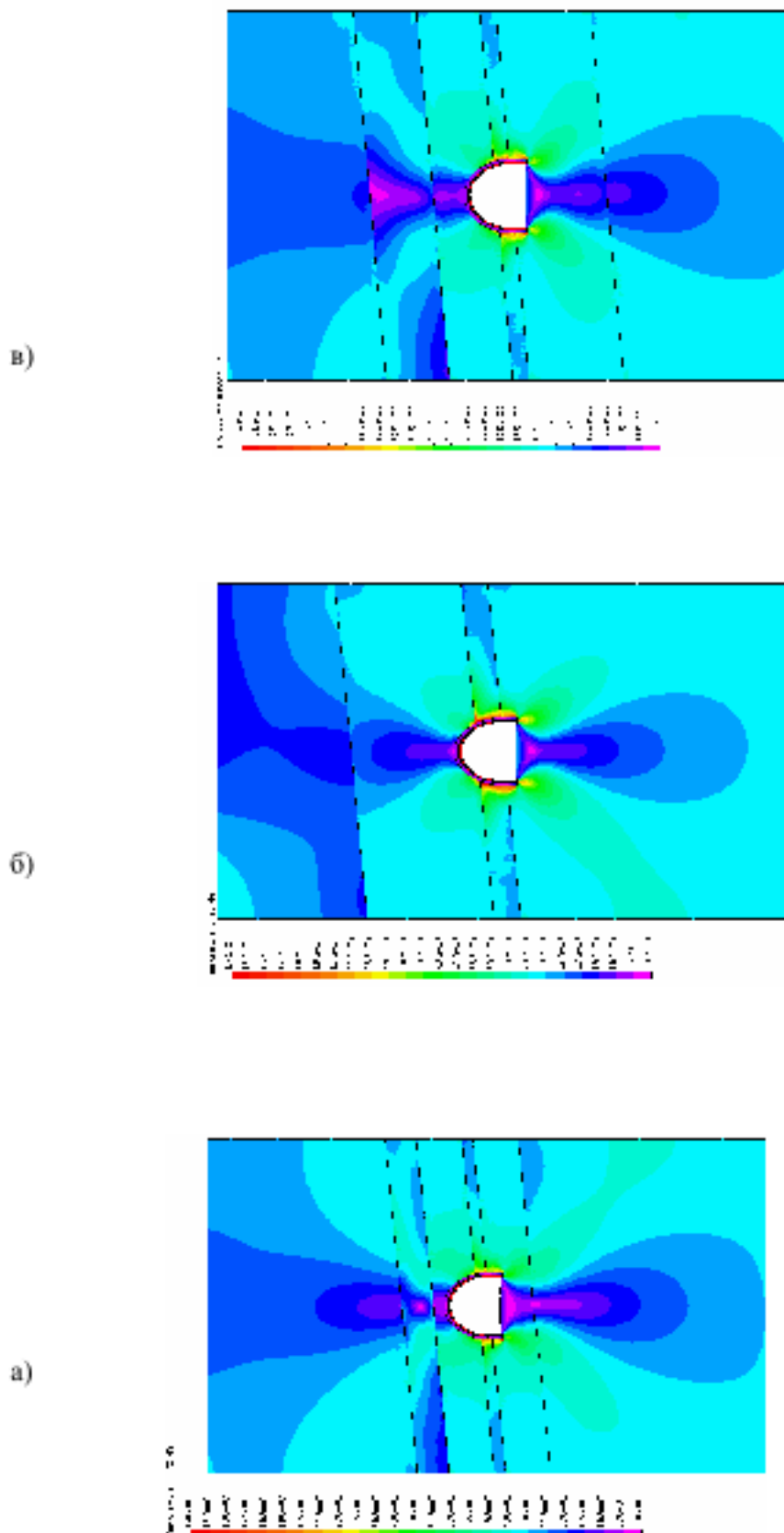


Рис. 3.9. Епюри приведеної напруги (варіант А) при прослизанні породних шарів на глибині $H = 200\text{м}$: а - модель I; б - модель II; в - модель III

Друге виведення - вже на глибині $H = 200\text{м}$ максимуми приведеної напруги σ у рамному кріпленні нерідко перевищують межу плинності сталі Ст5, що вказує на появу пластичних шарнірів, втрату стійкої форми кріплення і, як наслідок, руйнування виробки.

У результаті, встановлено, що модель III досить адекватно описує реальну структуру вуглевміщаючої товщі слабких порід шахти ім. Героїв Космосу.

3.2. Вплив геомеханічних параметрів вуглевмісного масиву на зміщення покрівлі та підошви виробки

В першу чергу слід підкреслити, що завдання оцінки стійкості виробки ставиться в ширшому розумінні порівняно з традиційно прийнятими представленнями: необхідно прогнозувати її стан в плані збереження (чи втрати) експлуатаційних характеристик по комплексу конструктивно-технологічних норм надійного функціонування виробки з урахуванням відповідних вимог правил безпеки. В зв'язку з цим в другому розділі сформульовані геомеханічні вимоги надійної експлуатації виробки пласта по ряду чинників (провітрювання, транспорт, пересування людей), оцінка виконання яких робиться по епюрах прогнозованих переміщень порідного контура і порівняння з допустимими переміщеннями на певних ділянках периметра виробка. Якщо не виконуються вимоги надійного і безпечного функціонування виробка, то питання її стійкості, як штучної гірничотехнічної споруди, вже стає вторинним, оскільки подальша експлуатація виробка недопустима без проведення певних ремонтно-віднових робіт.

Для реалізації цього підходу необхідно розробити методику прогнозу переміщень будь-якої точки периметра виробка пласта, тобто визначити епюру переміщень її поперечного перерізу, яка, окрім іншого, дозволяє чітко встановлювати величину втрати перерізу виробка і оцінювати надійність технологічних схем провітрювання тих або інших ділянок шахтного поля. Необхідність розрахунку епюри переміщень по усьому поперечному перерізу також пов'язана з тим, що різні вимоги надійного і безпечного функціонування виробка торкаються різних ділянок її периметра. З іншого боку, існуючі нормативні методики дають тільки усереднений прогноз переміщень в цілому по покрівлі, бокам і підошві виробки, хоча шахтні спостереження вказують на крайню нерівномірність зрушень вуглевмісної товщі на кожній з відмічених ділянок периметра виробка.

У попередньому параграфі були встановлені тенденції впливу на полі напруги і переміщень в системі «шаруватий массив-кріплення виймкової виробки» основних геомеханічних чинників: міцносніх і деформаційних характеристик вуглевмісної товщі, а також глибини розташування виробки. Виявлено, що певне поєднання цих чинників зумовлює вид стану (дограничне, граничне, позамежне) довколишніх породних шарів і вугільного пласта, який, у свою чергу, чинить вирішальну дію на розвиток епюри зміщень периметра

виробки. Тому головне завдання цього параграфу полягає у встановленні закономірностей зв'язку епюри зміщень периметра виробки з основними геомеханічними чинниками з метою подальшої розробки методу прогнозу проявів гірського тиску і оцінки виконання експлуатаційних вимог правил безпеки і стійкості виробки, що споруджується в шаруватому масиві слабких порід.

Для побудови епюри зміщень по периметру виробки виділений ряд точок, співпадаючих з вузлами звичайно елементної сітки. Ці точки пронумеровані від 1 до 22 по руху годинникової стрілки і принципи їх розташування продиктовані прагненням, з одного боку, отримати найбільш точну епюру $U(x,y)_a$ з іншого, - обмежити об'єм вимірів :

- прийнята симетрична відносно вертикальній осі виробки схема розташування точок вимірів для виявлення можливої асиметрії епюри $U(x,y)$ обумовленою пологим $\alpha \leq 6^\circ$ падінням вугільного пласта;

- у зведеній рамі точки вимірів розташовані рівномірно через кожні 15° у інтервалі $\theta = 0..90^\circ$;

- у прямолінійній частині стійки розміщені три точки (у опорі стійки, кінці її прямолінійної ділянки і по середині) вимірів для точнішого виявлення її вигину, дуже характерного для виробок шахт Західного Донбасу;

- по ширині підошви виробки точки вимірів розміщені рівномірно для наочнішого відображення нерівномірного характеру здуття.

Результати вимірів епюри зміщень периметра виробки представляються для аналізу таким чином.

По-перше, для кожного з варіантів розрахунку будується новий контур виробки (що відповідає якому-небудь фіксованому значенню глибини її розташування) і визначається площа перерізу S виробки усередині її контура, що змінився. Знаючи первинну площу поперечного перерізу

$$\frac{S}{S_0}$$

виробки S_0 визначається безрозмірний параметр $\frac{S}{S_0}$ - відносна зміна площи поперечного перерізу штреку пласта, який нерідко використовується в сучасних дослідженнях для оцінки стійкості виробки і міри її придатності для подальшої експлуатації, у тому числі, по чинниках транспорту і ефективності провітрювання ділянки шахтного поля.

По-друге, існує ряд обмежень на допустиму величину зміщення породного контура виробки (на різних ділянках її периметра) виходячи з комплексу вимог її надійної і безпечної експлуатації [1,2], наприклад, допустима величина вертикальної і бічної податливості кріплення; мінімально допустимі проміжки для безпечного проходу людей і руху рухомого складу, інших транспортних засобів; максимально допустима (з точки зору збереження рейкового шляху) величина здуття порід підошви та ін. Ці вимоги частково індивідуальні залежно від типу і призначення виробки. Тому, окремо від

$$\frac{S}{S_0}$$

параметра $\frac{S}{S_0}$ необхідно встановити закономірності зміни зміщення периметра виробки в наступних точках:

- точка 9 - максимальне опускання зведення покрівлі;
- точка 20 - максимальне підняття підошви;
- точки 4, 14 і 5, 13 - зближення боків виробки в зоні проходу людей;
- точки 1, 17 - зближення боків виробки по її підошві, а також втискування опор стійок рами в підошву;
- точки 18, 22 - підняття підошви в зоні проходу людей.

Для обґрунтування варіантів розподілу механічних характеристик довколишніх шарів вуглевмісної товщі використаний аналіз результатів розрахунку НДС системи по попередніх етапах досліджень і результати

$$\frac{(\sigma_{\text{сж}}^{K,P})^0}{\sigma_{\text{сж}}^{K,P}} \quad \text{i} \quad \frac{M_i^{K,P}}{E_i^{K,P}}$$

пробних розрахунків за оцінкою міри впливу параметрів $\frac{(\sigma_{\text{сж}}^{K,P})^0}{\sigma_{\text{сж}}^{K,P}}$ і $\frac{M_i^{K,P}}{E_i^{K,P}}$ позамежного стану кожного з шарів.

Перша особливість зв'язку епюри переміщень порідного контура виробка з механічними характеристиками вуглевмісної товщі полягає в тому, що спостерігаються стабільні закономірності зміни функції $U(x, y) = \Phi(E_i^{K,P})$

$\frac{(\sigma_{\text{сж}}^{K,P})^0}{\sigma_{\text{сж}}^{K,P}} \quad \text{i} \quad \frac{M_i^{K,P}}{E_i^{K,P}}$ незалежно від параметрів $\sigma_{\text{сж}}^{K,P}$ і $E_i^{K,P}$ граничного і позамежного стану породних шарів. Це дозволяє представити епюру переміщень порідного контура виробка як функцію двох співмножників

$$U(x, y) = \Phi_1(E_i^{K,P}) \cdot \Phi_2\left[\sigma_{\text{сж}}^{K,P}, \frac{(\sigma_{\text{сж}}^{K,P})^0}{\sigma_{\text{сж}}^{K,P}}, \frac{M_i^{K,P}}{E_i^{K,P}}\right]. \quad (3.2)$$

У свою чергу, вид функції $U(x, y)$ по рівнянню (3.2) створює можливість роздільного дослідження функцій Φ_1 і Φ_2 : розрахунки НДС системи по встановленню функції Φ_1 були проведені в попередніх роботах Фомичова В.В.; результати розрахунків НДС системи по встановленню функції Φ_2 викладені в цьому розділі і дозволяють здійснити моделювання тільки одного ($E_i^{K,P} = 0,3 \cdot 10^4$ МПа) з 27 варіантів співвідношення модулів деформації шарів вуглевмісної товщі; інші варіанти враховуються функцією Φ_1 .

Друга особливість однозначно вказує на взаємовплив параметрів $\frac{(\sigma_{\text{сж}}^{K,P})^0}{\sigma_{\text{сж}}^{K,P}}$ і $\frac{M_i^{K,P}}{E_i^{K,P}}$ на функцію $U(x, y)$ яке неможливо розділити по аналогії з рівнянням (3.2). Тоді у базу варіантів розрахунку слід включати усі 27 варіантів

співвідношень $\frac{\sigma_{\text{сж}}^{K,P}}{\sigma_{\text{сж}}^K}$ вуглевмісної товщі. Проте, встановлено, що уся гамма закономірностей розвитку зміщень $U(x,y)$ у граничному і позамежному станах з точністю до 10% описується вісьмома найбільш «різнополюсними» варіантами по параметру. Це дозволяє більш ніж в три рази скоротити об'єм обчислень.

Далі виконано обґрунтування діапазону зміни і вибраних фіксованих

$$\frac{(\sigma_{\text{сж}}^{K,P})^0}{\sigma_{\text{сж}}^{K,P}} \quad \frac{M_i^{K,P}}{E_i^{K,P}}$$

значень параметрів позамежного стану $\frac{(\sigma_{\text{сж}}^{K,P})^0}{\sigma_{\text{сж}}^{K,P}}$ і $\frac{M_i^{K,P}}{E_i^{K,P}}$ породних шарів вуглевмісної товщі.

Дослідженнями встановлено, що в слабких вуглевміщаючих породах (в основному Західного району Донбасу) залишкова міцність на стискування $(\sigma_{\text{сж}}^{K,P})^0$ складає 10...20% від міцності на стискування цілісного зразка $\sigma_{\text{сж}}^{K,P}$. Для охоплення цього діапазону проведені розрахунки НДС системи при різних поєднаннях залишкової міцності кожного з довколишніх породних шарів для

$$\frac{(\sigma_{\text{сж}}^{K,P})^0}{\sigma_{\text{сж}}^{K,P}} = 0,1$$

двох фіксованих значень $\frac{(\sigma_{\text{сж}}^{K,P})^0}{\sigma_{\text{сж}}^{K,P}}$ і 0,2, які зведені в таблиці 3.2.

Таблиця 3.2

Варіанти	1	2	3	4	5	6	7	8
$\frac{(\sigma_{\text{сж2}}^K)^0}{\sigma_{\text{сж2}}^K}$	0,1	0,1	0,1	0,1	0,2	0,2	0,2	0,2
$\frac{(\sigma_{\text{сж1}}^K)^0}{\sigma_{\text{сж1}}^K}$	0,1	0,1	0,2	0,2	0,1	0,1	0,2	0,2
$\frac{(\sigma_{\text{сж1}}^P)^0}{\sigma_{\text{сж1}}^P}$	0,1	0,2	0,1	0,2	0,1	0,2	0,1	0,2

$$\frac{M_i^{K,P}}{E_i^{K,P}}$$

Що стосується параметра $\frac{M_i^{K,P}}{E_i^{K,P}}$ спадаючій гілці повної діаграми деформації породи, то вищезгадані дослідження механічних властивостей слабких глинистих, піщано-глинистих і піщаних сланців Західного Донбасу

$$\frac{M_i^{K,P}}{E_i^{K,P}} = 0,5...3$$

дають досить обмежений інтервал зміни $\frac{M_i^{K,P}}{E_i^{K,P}}$. Пластичніші глинисті сланці мають знижений(усереднений по спадаючій гілці) модуль спаду

$\frac{M}{E} = 0,5...1,5$ піскуваті сланці схильні до крихкішого руйнування ($\frac{M}{E} = 2...3$), а

піщано-глинисті сланці займають проміжне значення. В зв'язку з цим прийнято

раніше розраховувати НДС системи для групи варіантів, де параметр $\frac{M_i^{K,P}}{E_i^{K,P}}$ зафіксований двома значеннями 0,5 і 3 для кожного з довколишніх шарів вуглевмісної товщі (таблиця. 3.3).

Таблиця 3.3

Варіанти	1	2	3	4	5	6	7	8
$\frac{M_2^K}{E_2^K}$	0,5	0,5	0,5	0,5	3	3	3	3
$\frac{M_1^K}{E_1^K}$	0,5	0,5	3	3	0,5	0,5	3	3
$\frac{M_1^P}{E_1^P}$	0,5	3	0,5	3	0,5	3	0,5	3

$$\frac{M_i^{K,P}}{E_i^{K,P}} = 1,3$$

Крім того, прорахована група варіантів при $\frac{M_i^{K,P}}{E_i^{K,P}}$ які займають проміжне значення по досліджуваному параметру. Ці розрахунки спільно з додатковими (при необхідності точнішого встановлення закономірностей зв'язку $U(x,y)$ і механічних характеристик вуглевмісної товщі) використані в розробленому методі прогнозу спори переміщень порідного контура виробки пласта.

Відповідно до методики проведення досліджень виконаний комплекс розрахунків НДС системи «шаруватий массив-кріплення підготовчої виробки», результати яких найнаочніше проілюстровані сімейством графіків опускання покрівлі штреку (по вертикальній координаті Y) залежно від геомеханічних

параметрів: $H, E_i^{K,P}, \frac{M_i^{K,P}}{E_i^{K,P}}, \sigma_{сж}^{K,P}$ і $\frac{(\sigma_{сж}^{K,P})^0}{\sigma_{сж}^{K,P}}$. Найбільший інтерес представляє максимум вертикальних переміщень в замку зведення U_9^y і в зоні проходу людей (U_4^y, U_5^y, U_{13}^y і U_{14}^y).

На рис. 3.10 приведені залежності зростання переміщень замку зведення U_9^y зі збільшенням глибини H розробки. Функції $U_9^y(H)$ мають нелінійний характер: у міру зростання H зміщення U_9^y збільшуються більше інтенсивно, що обумовлено зростанням зон позамежного стану в довколишніх породних шарах. На величину опускання замку зведення найбільший вплив робить

модуль деформації E_1^K першого порідного шару покрівлі : збільшення його жорсткості обмежує зміщення U_9^y до 1,69 разів. Менший вплив робить модуль деформації E_2^K другого порідного шару покрівлі : при його збільшенні від $0,3 \cdot 10^4$ МПа до $1 \cdot 10^4$ МПа зміщення U_9^y зменшується до 11%. Вплив модуля деформації E_1^P першого порідного шару підошви не перевищує 7,2%.

Обмеження опускання замку зведення із зростанням жорсткості довколишніх породних шарів логічно і не суперечить відповідним положенням механіки підземних споруд.

Приклад закономірності зв'язку опускання U_9^y замку зведення з міцносними характеристиками довколишніх породних шарів приведений на рис. 3.11. Звертає увагу дуже тісний зв'язок переміщень U_9^y з межею міцності на стискування першого $\sigma_{c\&g1}^K$ і другого $\sigma_{c\&g2}^K$ породних шарів покрівлі. Збільшення $\sigma_{c\&g1}^K$ від 5 МПа до 20 МПа призводить до зниження опускання замку зведення в 3,46...4,74 рази при $H = 200$ м і в 3,83...5,52 рази при $H = 600$ м, що пояснюється різким обмеженням областей позамежного стану в першому порідному шарі покрівлі. Аналогічний ефект спостерігається і в другому порідному шарі покрівлі, але вже з менш тісним зв'язком U_9^y і $\sigma_{c\&g2}^K$ унаслідок його деякої віддаленості від зведення виробка : збільшення $\sigma_{c\&g2}^K$ від 5 МПа до 20 МПа сприяє зниженню U_9^y у 1,49...1,79 разу при $H = 200$ м і в 1,55...2,07 разу при $H = 600$ м. Як бачимо, зі збільшенням глибини розташування виробка пласта посилюється вплив міцносних характеристик породних шарів покрівлі.

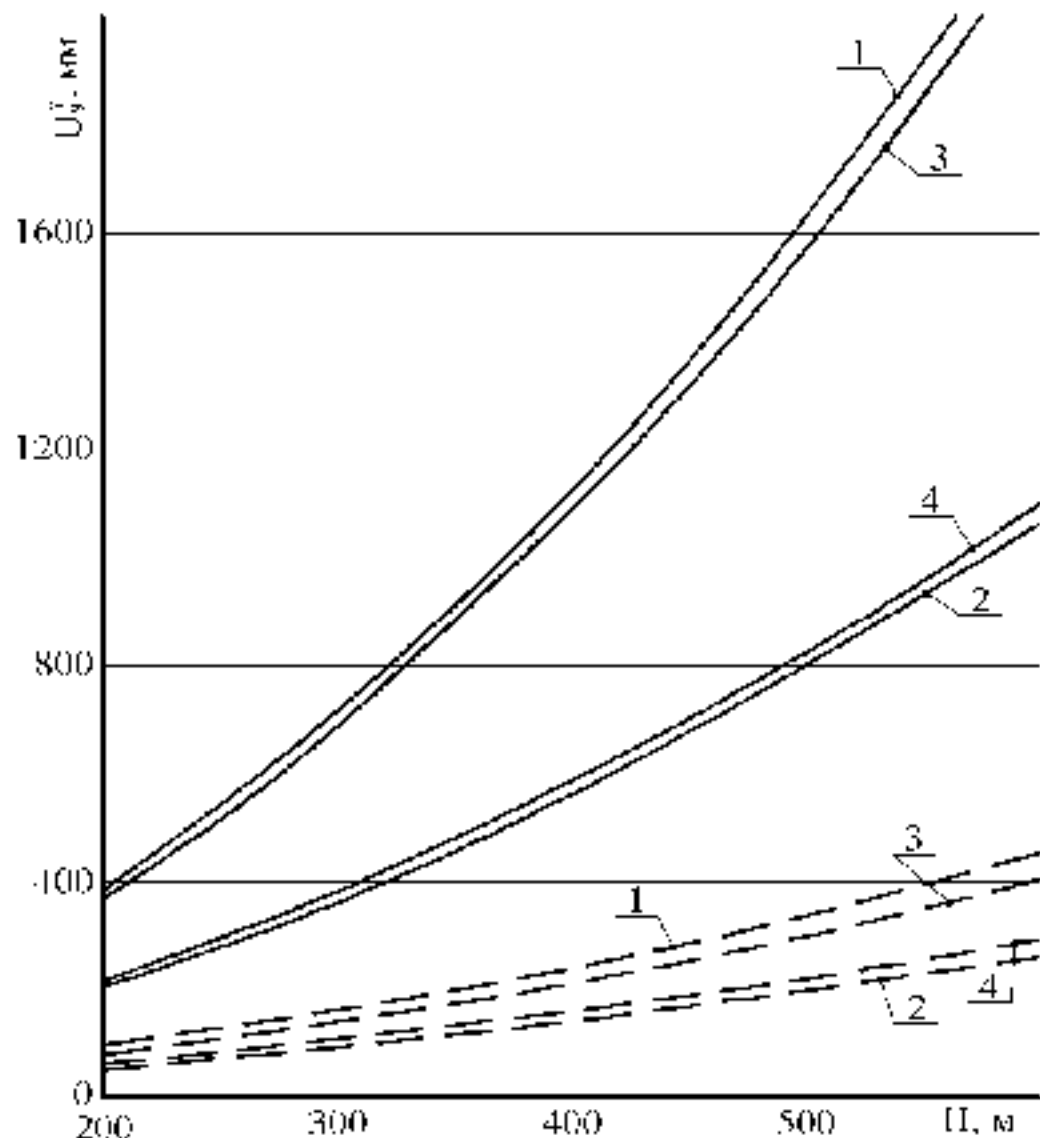


Рис. 3.10. Опускання U_y замку зведення із зростанням глибини розробки H :

$$\sigma_{c\omega_1}^K = 5 \text{ МПа}; \quad \sigma_{c\omega_1}^H = 20 \text{ МПа};$$

$$1 - \sigma_{c\omega_2}^K = \sigma_{c\omega_1}^H = 5 \text{ МПа};$$

$$2 - \sigma_{c\omega_2}^K = \sigma_{c\omega_1}^H = 20 \text{ МПа};$$

$$3 - \sigma_{c\omega_2}^K = 5 \text{ МПа} \quad \sigma_{c\omega_1}^H = 20 \text{ МПа};$$

$$4 - \sigma_{c\omega_2}^K = 20 \text{ МПа} \quad \sigma_{c\omega_1}^H = 5 \text{ МПа}$$

Що стосується першого породного шару підошви, то його вплив $\sigma_{\text{сж}}^P$ на величину U_9^y менш помітно: при збільшенні $\sigma_{\text{сж}}^P$ з 5 МПа до 20 МПа зміщення знижаються на 3,9...17,5% при $H = 200$ м і на 2,1...11,6% при $H = 600$ м. При цьому найбільший вплив $\sigma_{\text{сж}}^P$ робить при помірних переміщеннях замку зведення $U_9^y = 100...300$ мм.

Таким чином, за результатами аналізу впливу на зміщення замку зведення прочностних і деформаційних характеристик допредельного і граничного стану довколишніх породних шарів можна зробити два висновки:

- параметри $\sigma_{\text{сж}}^K$, $\sigma_{\text{сж}2}^K$, E_1^K і E_2^K необхідно враховувати при прогнозі опускання зведення U_9^y ;
- вплив механічних характеристик $\sigma_{\text{сж}}^P$ і E_i^P першого порідного шару ґрунту знаходиться в межах погрішності, що допускається при гірничотехнічних розрахунках, що дозволяє їх виключити при прогнозуванні величини U_9^y .

Більше цікавлять зміщення U_5^y і U_{13}^y які при опусканні зведення можуть перемістити точки 5 і 13 в зону безпечного проходу людей (1,8 м від пішохідного настилу), що неприпустимо по чинних нормах правил безпеки.

Розвиток переміщень U_5^y і U_{13}^y із зростанням глибини H розробки аналогічні вищеописаним закономірностям U_9^y замку зведення, але є деякі особливості, які пояснені на рис. 3.11 (графіки приведені для глибини $H = 400$ м). За інших рівних умов величина $U_{5,13}^y$ складає 64 і 71% від U_5^y що ще раз звертає увагу на процес виполажування зведення.

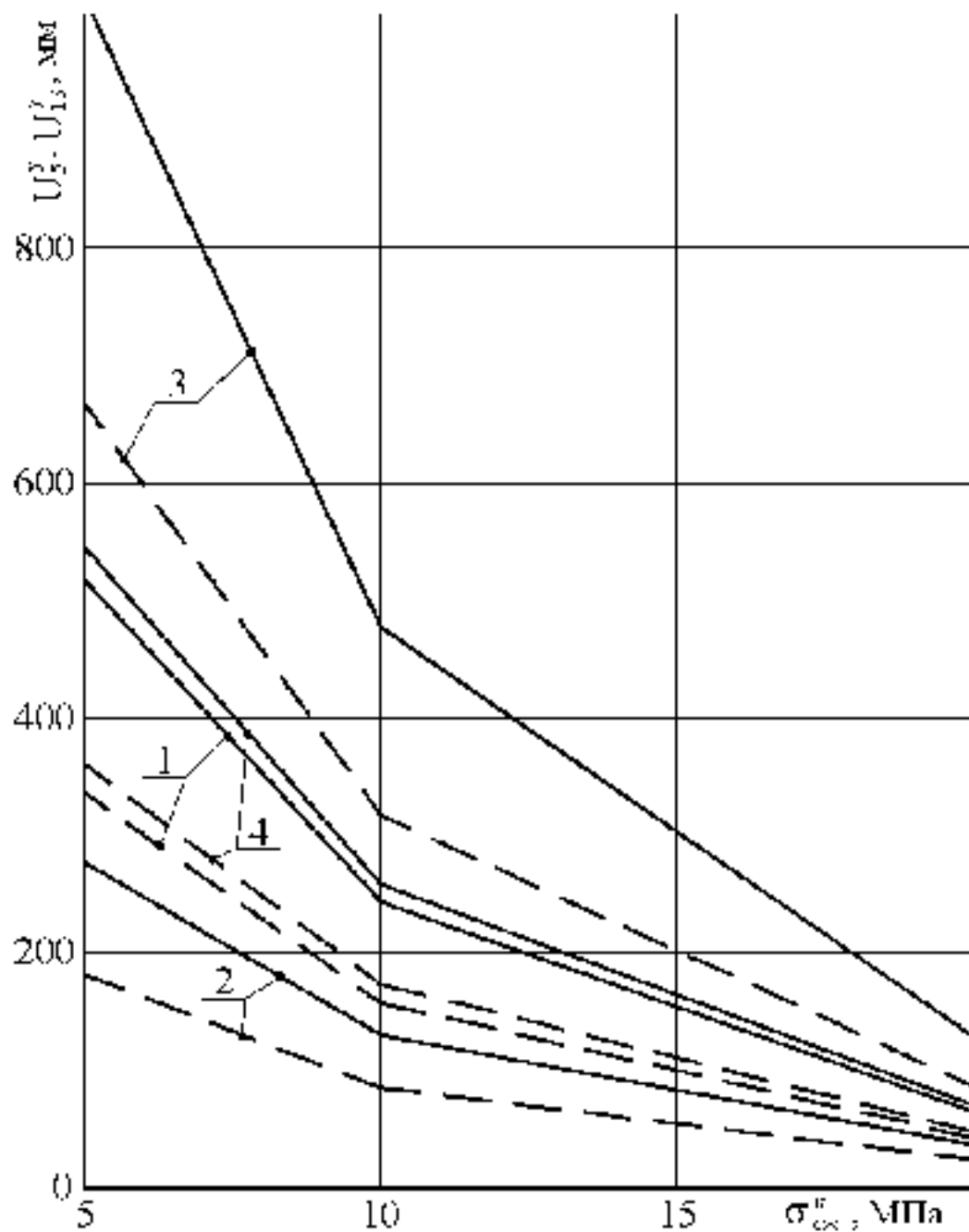


Рис. 3.11. Вертикальні переміщення U_s^y U_{13}^y зведення виробки в зоні проходу людей залежно від опору стискуванню σ_{csc}^K першого породного шару покрівлі :

$$\sigma_{csc2}^K = 5 \text{ MPa}; \quad \sigma_{csc2}^K = 20 \text{ MPa};$$

$$1 - \frac{\left(\sigma_{csc1}^K\right)^0}{\sigma_{csc1}^K} = 0,1 \quad ; \quad 2 - \frac{\left(\sigma_{csc1}^K\right)^0}{\sigma_{csc1}^K} = 0,2 \quad ;$$

$$\frac{M_1^K}{E_1^K} = 0,5 \quad ; \quad \frac{M_1^K}{E_1^K} = 0,5 \quad ;$$

$$3 - \frac{(\sigma_{\text{сж}}^K)^0}{\sigma_{\text{сж}}^K} = 0,1 \quad \frac{M_1^K}{E_1^K} = 3 \quad ; \quad 4 - \frac{(\sigma_{\text{сж}}^K)^0}{\sigma_{\text{сж}}^K} = 0,2 \quad \frac{M_1^K}{E_1^K} = 3$$

Отримуємо наступні висновки:

- для умов шахти ім. Героїв Космосу по стратиграфічних колонках вугільних пластів побудовано три найбільш характерних структури вуглевмісної товщі, аналіз поля напруги в яких дозволив з достатньою для гірничотехнічних розрахунків точністю обґрунтувати єдину усереднену структуру, погрішність якої не перевищує 10% в усьому діапазоні зміни геомеханічних параметрів вміщуючого масиву слабких порід.
- оцінено вплив деформаційних характеристик приконтурних пордних шарів виробки пласта на напружено-деформований стан системи «шаруватий массив-кріплення підготовчої виробки». Встановлено, що, незважаючи на різні співвідношення деформаційних характеристик довколишніх породних шарів в покрівлі і підошві виробки пласта розміри зон граничного стану (в основному від дії розтягуючої напруги σ_x і σ_y) досить стабільні і охоплюють два порідні шари в покрівлі і один шар в підошві. У боках штреку спостерігається яскраво виражена область опорного тиску, яка сприяє розвитку зони граничного стану від дії стискаючої напруги.
- отримані закономірності впливу механічних характеристик породних шарів на зміни поля напруг і зміщень з ростом глибини розташування виїмкової виробки. Це дозволяє здійснювати вибір оптимальних параметрів виробки в залежності від механічних характеристик порід, які змінюються по довжині виробки. Так для умов, що виробка розташована на глибині $H=200-400$ м можна використовувати виробки з площею поперечного перерізу $S=11,2 \text{ м}^2$, відстань між рамами 0,8 м, тип кріплення КШПП із СВП-27. Для $H=400-600$ м, плошу та тип кріплення виробки можна не змінювати, але потрібно використовувати додаткове кріплення у вигляді анкерів та збільшити відстань між рамами до 1 м.

4 Охорона праці

4.1 Аналіз потенційно небезпечних і шкідливих виробничих факторів при проведенні гірничих виробок

Шкідливі та отрутні гази

В атмосферу гірських виробок шкідливі гази надходять, в основному, з порід, що вміщають пласт.

По даних відборах проб концентрація шкідливих і отрутних газів не перевищує гранично припустимої норми концентрації (ПДК) і становить:

оксид вуглецю - 0,0011

оксид азоту - 0,00019

диоксид азоту - 0,0004

сірководень - 0,00046

сірчистий газ - 0,00027

Так само, крім цього, з порід, що вміщають вугільний пласт виділяється метан. Концентрація метану на робочих місцях, за даними служби АГК, не перевищує ПДК і становить 0,1 - 0,5%.

Численні виміри, зроблені Тернівською міською санітарно-епідеміологічною службою, показали рівень ЕРОА радону-222 у виробках пласта С₆ не перевищує 20 Вк·м³, при припустимих 50 Вк·м³. У зв'язку із цим спеціальні заходи щодо захисту від шкідливого впливу радону не передбачаються.

У випадку виникнення пожежі, для захисту органів дихання від впливу шкідливих газів і диму, використовуються ізоляючі саморятувальники ШСС-1У.

Запиленість повітря

Даний фактор присутній як в очисних виробках, так і підготовчих вибоях. Зміст вільного двоокису кременя перевищує 10 мг/м³.

Основними джерелами пилоутворення в підготовчому вибої є прохідницький комбайн, а також навантаження й перевантаження гірської маси.

При роботі прохідницького комбайна у вибої максимальний технічно досяжний рівень запиленості складе:

- для МГВМ на робочому місці і прохідників працюючим у вибої в межах 130-150 мг/м³, тривалість впливу становить 50-55% робочого часу за зміну;

- для електрослюсарів у межах 100-120 мг/м³, тривалість впливу становить до 5-10% робочого часу в зміну;

- для нагляду дільниці (начальник дільниці, зам. начальника дільниці, механік дільниці) у межах 10-20 мг/м³, тривалість впливу становить 30-40% робочого часу за зміну;

- для гірничого майстра 100-120 мг/м³, тривалість впливу становить 5-10% робочого часу за зміну;

При роботі гірничурахтного устаткування технічно досяжний рівень запиленості не перевищує 150 mg/m^3 .

4.2 Знепилення при проведенні гірничих виробок

Питоме знепилення при роботі комбайна q (г/т) без засобів знепилення при проведенні підготовчої виробки:

$$q_n = q_{n_0} \cdot V \cdot K_k \cdot \varepsilon / m;$$

де q_n — питоме знепилення шахтопласта, що характеризує сумарний вміст у зруйнованому куті часток розміром 0,70 мм, здатних переходити у зважений стан для умов виїмки вугілля з барабанним виконавчим органом, постійним режимом руйнування вугілля при будь-яких гірничотехнічних умовах і швидкості руху повітряного струменя 1 м/с;

V — швидкість руху повітря, м/с;

K_k — коефіцієнт, що враховує вплив конструктивних параметрів комбайна на утворення й виділення пилу.

$$q_n = 30 \cdot 0,5 \cdot 0,33 = 5 \text{ g/m};$$

Для боротьби з пилом у підготовчий виробці приймаємо типове зрошення із зовнішнім розташуванням зрошувачів.

Залишкову запиленість повітря в підготовчий виробці при роботі проходницького комбайна з відкритим виконавчим органом при відстані між вентиляційним трубопроводом і вибоем, рівним 8 м, розраховуємо по формулі:

$$C_n = \frac{1000 q_{n,n} P_k K_c}{Q_n}, \text{mg/m}^3;$$

де P_k — продуктивність комбайна по гірській масі, т/хв;

k_v — коефіцієнт, що враховує вплив швидкості руху вентиляційного струменя в підготовчому вибої на запиленість повітря;

k_c — коефіцієнт, що враховує ефективність комплексу заходів, що забезпечують, у підготовчому вибої:

$$k_c = (1 - \mathcal{E}_1) \cdot \dots \cdot (1 - \mathcal{E}_n) = 1 - 0,8 = 0,2$$

де $\mathcal{E}_1 \dots \mathcal{E}_n$ — ефективність окремих заходів, частка од.

Q_n — кількість повітря необхідне для провітрювання підготовчого виробітку, $\text{m}^3/\text{хв}$. Визначено в підрозділі вентиляція як кількість повітря, необхідне для провітрювання привибійного простору.

$$C_n = \frac{1000 \cdot 5 \cdot 1,9 \cdot 1 \cdot 0,2}{2,6 \cdot 60} = 12,7 \text{ mg/m}^3;$$

Залишкова запиленість повітря при знепилюванні перевищує санітарні норми, тому необхідно передбачити забезпечення гірників протипиловими респіраторами ПРШ-741, які мають наступну характеристику:

- вага 200 г;
- строк захисної дії 22 години, при запиленості повітря $300 \text{ мг}/\text{м}^3$;
- ефективність пилеутримання 99,99%.

Знепилення при роботі проходницьких комбайнів.

Для боротьби з пилом застосовують високонапірне зрошення з тиском рідини не менш 1,2 Мпа і подачею води в зону різання.

Розроблена схема розташування встаткування для знепилення показана на рис. 3.12.

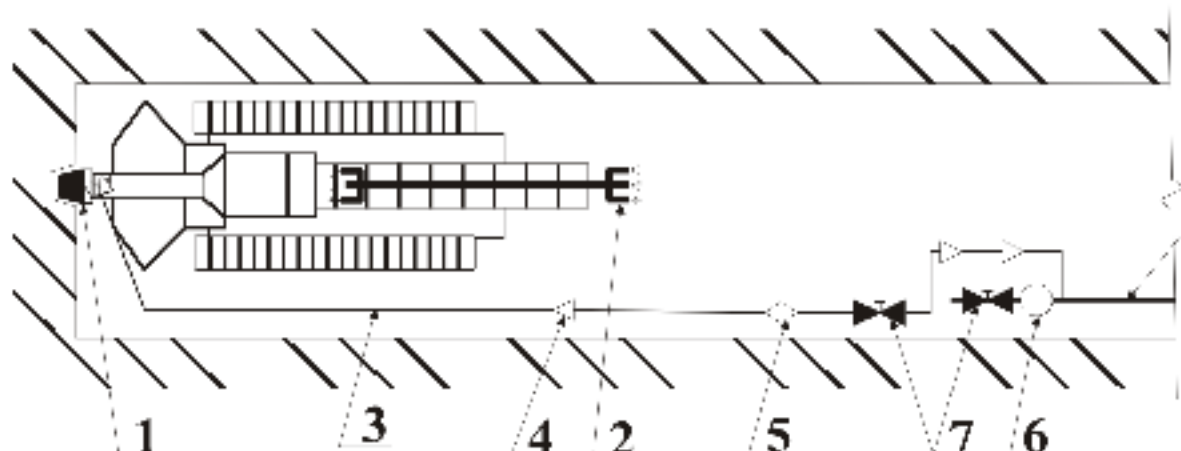


Рис. 3.12 - Схема розташування встаткування для пилоподавлення
1- форсунка зовнішнього зрошення; 2 - зрошуvalний пристрій; 3 - рукав напірний; 4 - переходна муфта; 5 - дозатор; 6 - манометр; 7 - вентиль.

Добова витрата води на зрошення:

$$Q_{\text{доб}} = 10^{-3} \cdot k \cdot \sum V \cdot q = 10^{-3} \cdot 1,1 \cdot (10,4 \cdot 125 \cdot 2,0 / 30) \cdot 40 = 3,81 (\text{м}^3 / \text{сум})$$

де k - коефіцієнт на невраховані витрати води і витоку;

V - добовий обсяг робіт по окремих виробничих процесах, т/доб;

q - питома витрата води по окремих виробничих процесах, л/т.

Необхідне число форсунок для зрошення:

$$n = \frac{Q_{\text{доб}}}{3,13 \cdot a \cdot \sqrt{p}} = \frac{3,81}{3,13 \cdot 1,6 \cdot \sqrt{2}} = 0,54 (\text{шт})$$

де Q - витрата води на зрошення, л/хв;

a - коефіцієнт витрати води форсункою;

p - тиск води у форсунці, Мпа.

На комбайні ГПКС установлюємо 1 форсунку типу КФ 1, 6-75 з витратою води $7,01 \text{ м}^3/\text{доб}$.

4.3 Пиловибухозахист при проведенні виробки

Визначення періодичності обмивки виробки на різних ділянках.

Періодичність нанесення обмивки на ділянці проведеного штреку, що примикає до вибою довжиною 50 м (місця інтенсивного пилоутворення) визначається по табл. 18 [1] і становлять 1 раз у добу.

Визначимо періодичність обмивки на ділянці проведеного штреку, що залишилася,

$$T_n = \frac{K_n \cdot K_{CH_4} \cdot \delta_{over}}{P} = \frac{1 \cdot 0,5 \cdot 35}{1,2} = 14,6 \text{ (сутин)}$$

де K_n — коефіцієнт, що характеризує тривалість захисної дії способу попередження вибуху вугільного пилу. При обмивці $K_n=1$;

K_{CH_4} — коефіцієнт, що враховує вплив вмісту метану в атмосфері виробки. При змісті CH_4 1,0% — $K_{CH_4}=0,5$;

P — інтенсивність пиловідкладення, г/({m}^3·доб). У тупикових підготовчих виробках поза привибійного простору $P=1,2$.

Розрахунок розосередженого водяногого заслону з посудин типу ПБС-1.

Необхідна витрата води на розосереджений водяний заслін визначається по формулі:

$$Q_p = 1,1 \cdot q \cdot S_{,л}$$

де 1,1 - коефіцієнт який враховує відхилення тактичного наповнення посудин від розрахункового;

q - питома витрата води на 1{m}^2 перетину виробки, приймаємо 400 л по [1]:

$$Q_p = 1,1 \cdot 400 \cdot 10,4 = 4576 \text{ (л)}$$

Кількість посудин необхідне для установки розраховується по формулі:

$$N = \frac{Q_p}{q_{oc}} = \frac{4576}{12} = 382$$

де q_{oc} - ємність однієї посудини, л;

Кількість рядів з посудинами в заслоні:

$$m = \frac{N}{n} = \frac{382}{6} = 64$$

де n - кількість водяних посудин у ряді.

Необхідна кількість води в заслоні:

$$Q = m \cdot n \cdot q_{oc} = 64 \cdot 6 \cdot 12 = 4608 \text{ (л)}$$

У суміжних рядах посудини повинні розташовуватися, перекриваючи один одного.

Згідно «Інструкції з попередження й локалізації вибухів вугільного пилу» параграфи 37, 38 і застосовуваних посудин ємністю 12л розрахуємо параметри заслону:

$$L^* = \frac{Q}{2.5 \cdot S} = \frac{144}{2.5 \cdot 10.4} = 5.54(M)$$

де Q - загальна ємність посудин на двох суміжних рамках.

Умова $L > 5$ м виконується.

$$L = \frac{Q}{0.75 \cdot S} = \frac{144}{0.75 \cdot 10.4} = 18,46 = 18,5(m)$$

Розміщення заслону з посудин ПБС-1 у виробках, закріплених арковим кріпленням показано на рисунку 3.133

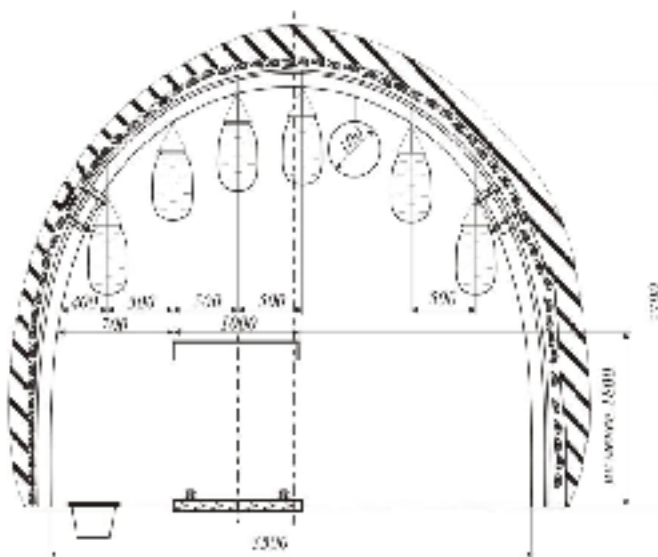


Рис. 3.13 — Схема установки водяного заслону з посудин ПБС-1

ВИСНОВКИ

У магістерській роботі вирішено практичне завдання по забезпеченю надійної експлуатації виїмкових виробок за рахунок підвищення достовірності прогнозу стану неоднорідного вуглевмісного масиву слабких порід по усьому контуру кріплення виїмкової виробки.

Основні результати роботи полягають в наступному:

1. Оцінка достовірності розрахунку НДС системи «шаруватий масив - кріплення виїмкової виробки» дала задовільні результати: закономірності розвитку переміщень контуру кріплення виробки не суперечать відомим геомеханічним гіпотезам (встановленим як експериментальними, так і аналітичними дослідженнями).
2. Встановлені закономірності деформацій контуру виробки при різних механічних параметрах породних шарів, на підставі яких визначаються технологічні умови взаємодії контуру породного масиву і рами, Вибір технології і конфігурації установки рамного кріплення відбувається на підставі аналізу зміщень окремих ділянок контуру виробки.
3. Отримані закономірності впливу механічних характеристик породних шарів на зміни поля напруг і зміщень з ростом глибини розташування виїмкової виробки. Це дозволяє здійснювати вибір оптимальних параметрів виробки в залежності від механічних характеристик порід, які змінюються по довжині виробки. Так для умов, що виробка розташована на глибині $H=200-400$ м можна використовувати виробки з площею поперечного перерізу $S=11,2 \text{ м}^2$, відстань між рамами 0,8м, тип кріплення КШПП із СВП-27. Для $H=400-600$ м, плошу та тип кріплення виробки можна не змінювати, але потрібно використовувати додаткове кріплення у вигляді анкерів та збільшити відстань між рамами до 1м.

Кваліфікаційна робота виконана відповідно до програми й методичних рекомендацій кафедри гірничої інженерії та освіти [12].

ПЕРЕЛІК ПОСИЛАНЬ

1. Правила безпеки у вугільних шахтах / НПАОП 10.0-1.01 - 10.- К., 2010. - 430 с.
2. Технологія підземної розробки пластових родовищ корисних копалин: Підручник для вузів / Бондаренко В.І., Кузьменко О.М., Грядущий Ю.Б., Гайдук В.А., Колоколов О.В., Табаченко М.М., Почепов В.М. – Дніпропетровськ, 2005. – 708 с.
3. Jaburek F., Hofler G., Sturn F. Elementmethode zur Berechnung ebener Spannungs-und Verformungszustände-ein Hilfsmittel der Gebirgsmechanik // Burgo und Huttenmannische Monatshefte. – 1970. – №115. – Р. 32-35.
4. Ковалевская И.А., Фомичев В.В. Эволюция математического эксперимента в решениях прикладных задач геомеханики //Науковий вісник НГУ. – 2007. – №9. – С.8-12.
5. Research of rock and deformation around mining workings /V. Bondarenko, G. Simanovich, I. Kovalevskay //International Mining Forum. Technical, technological and economic aspects of thin-seams coal mining. – Taylor & Francis/Balkema. – Р.47-56.
6. Компьютерное моделирование напряженно-деформированного состояния мелкослоистого породного массива вокруг пластовой выработки. Книга 1. Допредельная стадия деформирования системы «порода-крепь» /В.И. Бондаренко, И.А. Ковалевская, Г.А. Симанович, В.В. Фомичев. – Днепропетровск: Системные технологии, 2006. – Ч.1. – 172 с.
7. Моделирование предельного и запредельного состояния слоистого породного массива вокруг пластовой выработки /В.И. Бондаренко, И.А. Ковалевская, Г.А. Симанович, В.В. Фомичев // Материалы международной конференции Форум горняков-2007, Том.1. – Днепропетровск: НГУ, 2007. – С.158-162.
8. Компьютерное моделирование напряженно-деформированного состояния мелкослоистого породного массива вокруг пластовой выработки. Книга 2. Предельное и запредельное состояние системы «порода-крепление» /В.И. Бондаренко, И.А. Ковалевская, Г.А. Симанович, В.В. Фомичев. – Днепропетровск: Системные технологии, 2007. – Ч.2. – 200 с.
9. Алгоритм исследования проблемы устойчивости пластовых выработок в слоистом породном массиве /В.И. Бондаренко, И.А. Ковалевская, Г.А. Симанович, В.В. Фомичев //Науковий вісник НГУ. – 2007. – №6. – С.3-8.
10. Обоснование модели исследования напряженного состояния слоистого породного массива вокруг пластовой выработки /В.И. Бондаренко, И.А. Ковалевская, Г.А. Симанович, В.В. Фомичев //Науковий вісник НГУ. – 2006. – №10. – С.3-5.
11. Влияние физико-механических характеристик горного массива на эпюры распределения напряжений вблизи магистрального штрека /В.И. Бондаренко, И.А. Ковалевская, Г.А. Симанович, В.В. Фомичев //Науковий вісник НГУ. – 2006. – №11. – С.6-8.
12. Програма та методичні рекомендації до виконання магістрами кваліфікаційної роботи за спеціальністю 184 Гірництво спеціалізації «Підземна

розробка родовищ» та «Інжиніринг гірництва» / Упоряд.: Ю.І. Демченко, В.М. Почеков, О.Г. Кошка, О.Б. Владико – М-во освіти і науки України, Нац. техн.. ун-т «Дніпровська політехніка». – Дніпро: НТУ «ДП», 2018. – 29 с.